

كلية العلوم

القسم : الكيمياء

السنة : الثانية



٩



المادة : الكيمياء الكمومية

المحاضرة : الرابعة/نظري/دكتور

{{{ A to Z مكتبة }}}
مكتبة

2025 2024

Facebook Group : A to Z مكتبة

كلية العلوم ، كلية الصيدلة ، الهندسة التقنية

23

يمكنكم طلب المحاضرات برسالة نصية (SMS) أو عبر (What's app-Telegram) على الرقم 0931497960

الفصل الرابع

ذرة الهيدروجين وأشباهها، والعزم الزاوي، والدوار الصلب

The Hydrogenlike Atoms , Angular Momentum, and the Rigid Rotor

1-4 معادلة شرودينغر وطبيعة حلولها

The Schrödinger Equation and the Nature of Its Solutions

The Schrödinger Equation

1-1-4 معادلة شرودينغر

لندرس جملة مؤلفة من جسيمين: إلكترون وحيد، شحنته $-e$ ، ونواة عددها الذري Z ، وشحنته $+Ze$. إذا كانت $Z = 1$ ، فإن هذه الجملة تشكل ذرة الهيدروجين، أما في الحالات الأخرى، أي عندما $Z > 1$ ، فإنها تشكل الشوارد الشبيهة بذرة الهيدروجين. ليكن x_1, y_1, z_1 إحداثيات النواة، و x_2, y_2, z_2 إحداثيات الإلكترون. يمكن التعبير عن المسافة الفاصلة بين جسيمين في هذه الحالة بالعلاقة $(x_1 - x_2)^2 + (y_1 - y_2)^2 + (z_1 - z_2)^2]^{1/2}$. تمثل الطاقة الكامنة جداء الشحنة مقسومة على المسافة بينهما. إذا عبرنا عن e بالكولون (C)، تعطى الطاقة بالجول (J):

$$V = \frac{-Ze^2}{4\pi\epsilon_0[(x_1 - x_2)^2 + (y_1 - y_2)^2 + (z_1 - z_2)^2]^{1/2}} \quad (1.4)$$

إذ يمثل ϵ_0 ثابت العزل الكهربائي للخلاء $(8.8542 \times 10^{-12} \text{ J}^{-1} \text{ C}^2 \text{ m}^{-1})$. تكتب معادلة شرودينغر المستقلة عن الزمن لهذه الجملة على النحو الآتي:

$$\left[\frac{-\hbar^2}{2M} \nabla_1^2 - \frac{-\hbar^2}{2m_e} \nabla_2^2 - V \right] \psi(x_1, y_1, z_1, x_2, y_2, z_2) = E \psi(x_1, y_1, z_1, x_2, y_2, z_2) \quad (2.4)$$

إذ تمثل M و m_e كثافة النواة والإلكترون، في حين يمثل كل من ∇_1 و ∇_2 اللابلاس العائد للنواة والإلكترون على الترتيب، ويضم الهاامليون الواقع بين القوسين في العلاقة (2.4) ثلاثة حدود عائدة إلى مؤثر الطاقة الحركية من أجل النواة، ومؤثر الطاقة الحركية للإلكترون، ومؤثر الطاقة الكامنة، الذي يساوي الطاقة الكامنة نفسها $\hat{V} = V$.

إن للعلاقة (2.4) توابع خاصة ψ متعلقة بمواضع كل من الإلكترون والنواة، ومن الملائم تحويلها إلى إحداثيات مركز الثقل، ثم فصلها إلى معادلتين؛ إحداهما من أجل حركة مركز الثقل، والأخرى من أجل جسيم متمنع بكثة مختزلة متحركة حول مركز ثابت، الذي يجذب إليه الإلكترون بالوسيلة نفسها التي تجذبه النواة. ولما كان هذا التحول مضجراً، لن نقوم به في هذا الكتاب، بل سنناقش الطريقة. تعالج الطريقة مركز الثقل بصفته جسيماً حرّاً متحركاً عبر حقل الفراغ، وتمثل قيمة الخاصة (أي لمركز الثقل) ببساطة الطاقات الانسحابية لأشبه الهيدروجين، ويعبر عن معادلة شرودينغر الموافقة لهذا المركز على النحو الآتي:

$$\left[\frac{-\hbar^2}{2\mu} \nabla^2 - \frac{Ze^2}{4\pi\epsilon_0(x^2 + y^2 + z^2)^{1/2}} \right] \psi(x, y, z) = E \psi(x, y, z) \quad (3.4)$$

وتمثل μ الكثافة المختزلة لجسيم في جملة مركز الثقل، وتعطى بالعلاقة الآتية:

$$\mu = m_e M / (m_e + M) \quad (4.4)$$

في حين تمثل الإحداثيات (x, y, z) إحداثيات هذا الجسيم بالنسبة إلى مركز ثقل الجملة. تكون μ مساوية m_e في الحالة المثالية التي يكون فيها M أكبر بكثير من m_e ، وتمثل العلاقة (3.4) في هذه الحالة معادلة شرودينغر لحركة الإلكترون حول نواة مثبتة عند مبدأ الإحداثيات (أي النواة تقع على مبدأ الإحداثيات). أما من أجل الذرات الحقيقية أو الشوارد فيكون هذا التقرير غير صالح، باستثناء حالة النوى الخفيفة (مثل

ذرة الهيدروجين؛ إذ تكون M أكبر بنحو 2000 مرة من m_e ، ولذلك تكون μ قريبة من m_e ، ويكون مركز النقل قريباً جداً من النوى. وهكذا يجب أن تكون نتيجة استخدام إحداثيات مركز النقل في عملية فصل معادلة شرودينغر متطابقة مع افتراضنا السابق، أي ثبات النواة، ويمكن ببساطة كتابة معادلة شرودينغر لجسم واحد على النحو الآتي:

$$\left[\frac{-\hbar^2}{2m_e} \nabla^2 - \frac{Ze^2}{4\pi\epsilon_0(x^2 + y^2 + z^2)^{1/2}} \right] \psi(x, y, z) = E\psi(x, y, z) \quad (5.4)$$

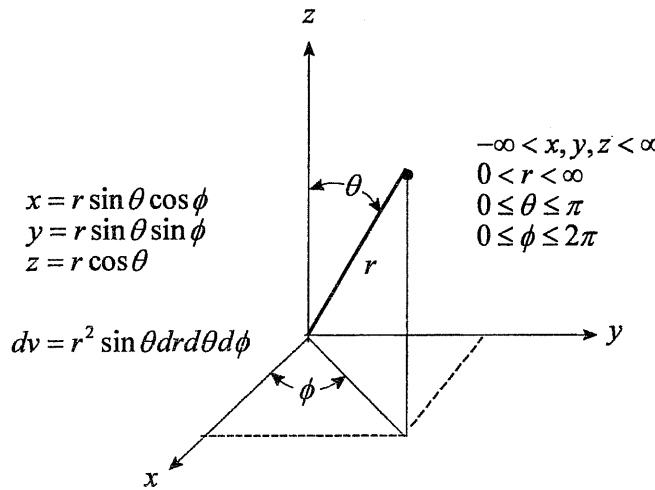
لا يؤثر استخدام m_e بدلاً من μ [أي استخدام العلاقة (5.4) بدلاً من (3.4)] في الطبيعة النوعية للحلول. ولكنه يؤدي إلى أخطاء صغيرة في القيم الخاصة – إذ تصبح الأخطاء ذات معنى في القياسات الدقيقة جداً، وفي حسابات التحليل الطيفي الذري. ولكن، بهدف المقارنة، تستخدم μ فيما بعد بافتراض أن النواة واقعة في مركز النقل. يمكن تحويل العلاقة (3.4) إلى الإحداثيات القطبية الكروية [يوضح الشكل (1-4) العلاقات بين الإحداثيات القطبية الكروية والإحداثيات الديكارتية]، وتكتب النتيجة على النحو الآتي:

$$\left[-\left(\frac{\hbar^2}{2\mu} \right) \nabla^2 - \left(\frac{Ze^2}{4\pi\epsilon_0 r} \right) \right] \psi(r, \theta, \phi) = E\psi(r, \theta, \phi) \quad (6.4)$$

و يكتب ∇^2 بدلاً من الإحداثيات القطبية الكروية، الذي يبدو في هذه الإحداثيات بصورة أكثر تعقيداً، بالشكل:

$$\nabla^2 = \frac{1}{r^2} \frac{\partial}{\partial r} \left(r^2 \frac{\partial^2}{\partial r^2} \right) + \frac{1}{r^2 \sin \theta} \frac{\partial}{\partial \theta} \left(\sin \theta \frac{\partial}{\partial \theta} \right) + \frac{1}{r^2 \sin^2 \theta} \frac{\partial^2}{\partial \phi^2} \quad (7.4)$$

ولكن تعد هذه الجملة الإحداثية طبيعية من أجل الجملة المدروسة، وتؤدي إلى الحل بسهولة، على الرغم من هذه الصيغة المعقدة لهذا المؤثر. لاحظ أن حد الطاقة الكامنة، $(-Ze^2/4\pi\epsilon_0 r)$ ، لا يتعلق بالزاوين θ أو ϕ . لذلك يعد الكمون متراً كروياً. ولكن تدخل تابعية θ و ϕ داخل الهايلتون عبر ∇^2 ، ولذلك يتوقع أن تكون التوابع الخاصة تابعة لهاتين الزاويتين. سنصف لاحقاً حلول معادلة شرودينغر (6.4)، بالابتعاد عن التفاصيل الرياضية للحلول الناتجة.



الشكل (1-4): جملة الإحداثيات القطبية الكروية. تدعى الزاوية ϕ الزاوية السمتية.

مثال 1-4: استخدم جملة الإحداثيات القطبية الكروية المبينة في الشكل (1-4) لحساب الحجم الذي تشغله طبقة من الغلاف الكروي، علماً أن نصف قطر الداخلي للطبقة يساوي 100.0 mm، وسمكها الغلاف يساوي 1.000 mm.

الحل: تعتمد إحدى الطرق لحل هذه المسألة على حساب الحجم داخل الكرة التي تضم الطبقة، ثم يطرح حجم الكرة التي تشغل الفراغ داخل الطبقة. يمكن حساب حجم الكرة ذات نصف قطر r من dv بإجراء تكامل r من 0 حتى r ، و θ من 0 حتى π ، و ϕ من 0 حتى 2π :

$$V = \int_0^r r^2 dr \int_0^\pi \sin \theta d\theta \int_0^{2\pi} d\phi = \frac{r^3}{3} \Big|_0^r \cdot (-\cos \theta) \Big|_0^\pi \cdot \phi \Big|_0^{2\pi}$$

$$= \frac{r^3}{3} (-(-1-1)) 2\pi = \frac{4}{3} \pi r^3$$

عندئذ:

$$V_{\text{طبقة}} = V(r = 101 \text{ mm}) - V(r = 100 \text{ mm})$$

$$= \frac{4}{3} \pi [(101 \text{ mm})^3 - (100 \text{ mm})^3] = 1.269 \times 10^5 \text{ mm}^3$$

أما الطريقة الأخرى (أقل دقة)، فتعتمد على حساب جداء الطبقة الكروية ($4\pi r^2$) بسمكها:

$$V \sim 4\pi r^2 \Delta r = 4\pi (100 \text{ mm})^2 \cdot 100 \text{ mm} = 1.257 \times 10^5 \text{ mm}^3$$

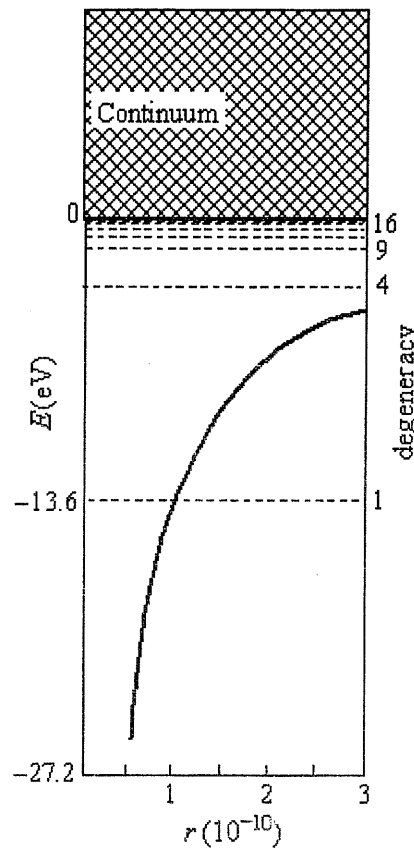
2-1-4 القيم الخاصة

The Eigenvalues

تصبح الطاقة الكامنة $(-Ze^2/4\pi\epsilon_0 r)$ لأنهائية بالقيمة السالبة عندما $r = 0$ ، وتقترب إلى الصفر عندما يصبح r كبيراً جداً، ويوضح الشكل (4-2) هذا الكمون من أجل الحالة التي يكون فيها $Z = 1$ ، ويتوقع أن تتحرف سويات الطاقة بسرعة أقل هنا مما هي في حالة الهازاز التواقي بسبب تزايد حجم الصندوق الفعلي تزايداً أسرع مع تزايد الطاقة في هذه الحالة مما هو في حالة الهازاز التواقي. ولما كانت سويات الهازاز التواقي متباعدة تباعداً ثابتاً (بمقدار $h\nu$ من أجل الحالتين أحادية البعد وثلاثية البعد)، فإن سويات الطاقة لشاردة شبيه بذرة الهميدروجين تتجمع عند الطاقات العليا. يوضح الشكل (4-2) هذه الحالة. فضلاً عن ذلك، بالمقارنة مع حالة جسيم في صندوق ذي جدار واحد محدود، يتوقع أن تشكل الطاقات المسموح بها مجموعة متقطعة من أجل الإلكترون مقيداً تقلدياً ($E < 0$)، ومجموعة مستمرة من أجل الحالات غير المقيدة ($E > 0$). وهكذا تكون طبيعة القيم الخاصة الموضحة في الشكل (4-2) مكملة تبعاً للمفاهيم السابقة الذكر.

تكون الطاقة الدنيا المسموح بها من أجل هذه الجملة بعيدة جداً عن حدود الطاقة الدنيا ($-\infty$) لحفرة الكمون، وتوافق طاقة الوضع الصفرى التي وجدناها في جملة أخرى، عندما تكون فيها حركة الجسيم مقيدة. هنا نعني بذلك أن الإلكترون عند درجة الصفر المطلق لا يستطيع أن يستقر على النهاية (أي يأخذ $T = 0$ ، $V = -\infty$ ، $E = -\infty$)، بل يستمر بالحركة بطاقة كلية محدودة.

تعد سويات الطاقة كلها، المبينة في الشكل (4-2)، متعددة باستثناء أدنى سوية. يوضح الشكل (4-2) أيضاً درجة التوالي من أجل بعض سويات طاقة دنيا، ولا يعد هذا التوالي غريباً؛ لأنه مرتب هنا بجملة الأبعاد، وسنجد لاحقاً في هذه الحالة (كما في حالة صندوق مكعب الشكل) التكافؤ الفيزيائي للتوجهات المختلفة في الفراغ الذي يحدثه التوالي في هذه الجملة الناشئ بالفعل عن تكافؤ التوجه (نعني هنا التمازير الكروي)، في حين لا يمكن ملاحظة ذلك في حالات أخرى.



الشكل (4-2): التابع الكمومي $V = -\frac{Z e^2}{4\pi\epsilon_0 r}$ لذرة الهيدروجين مع مركبات القيم الخاصة (الخطوط المنقطة). تمثل الأرقام على يمين الشكل درجات التوالي للسويات الأولى.

تعطى القيم الخاصة المقطعة السالبة بالعبارة الآتية:

$$E_n = \frac{-\mu Z^2 e^4}{8\epsilon_0^2 \hbar^2 n^2} = (-13.6058 \text{ eV}) \frac{Z^2}{n^2}, \quad n = 1, 2, 3, \dots \quad (8.4)$$

مثال 4-2: احسب طاقة تأين (أو شرد) (IE) الشاردة C^{5+} في حالتها الأساسية بوحدة الإلكترون فولط (eV).

الحل: تساوي طاقة التأين القيمة السالبة لطاقة الحالة الأساسية. لما كانت $Z = 6$ ،

و $n = 1$ ، فإن:

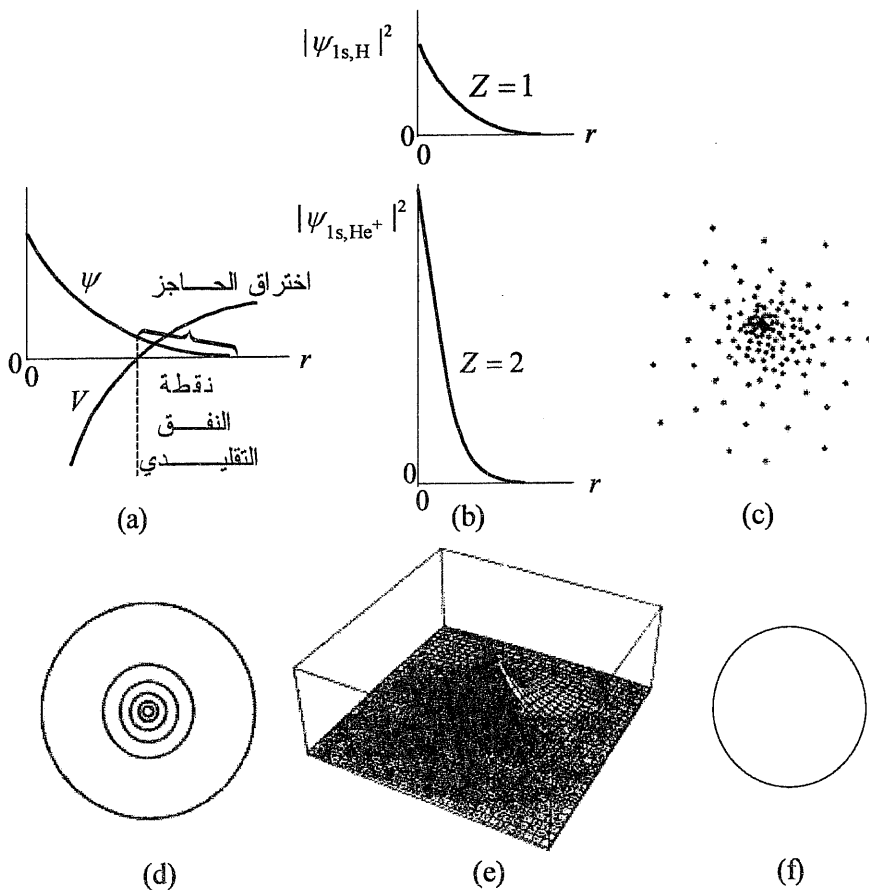
$$IE = (13.6058 \text{ eV}) \left(\frac{6}{1}\right)^2 = 489.808 \text{ eV}$$

3-1-4 التابع الموجي لأدنى طاقة The Lowest-Energy Wave Function

سنناقش الآن التابع الخاص للمعادلة (6.4) لأدنى طاقة، لأنه من الصعب فهم التابع الموجية الذرية في الكيمياء الكمومية رياضياً، وسيناقشه استنتاج العبارات لهذا التابع والتتابع الأخرى في فقرات لاحقة، ولكن لا يوجد ضرورة للعمل مع التفاصيل الرياضية للحلول الدقيقة للمعادلة (6.4) لفهم الخصائص الدقيقة للتتابع الخاصة. تعطى عبارة الحل المنظم للمعادلة (6.4) لأدنى طاقة بالعلاقة الآتية:

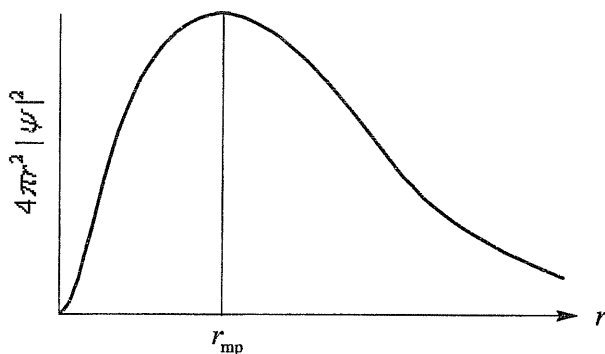
$$\psi(r) = (1/\sqrt{\pi})(Z/a_0)^{3/2} \exp(-Zr/a_0) \quad (9.4)$$

إذ إن $a_0 = 5.2917706 \times 10^{-11} \text{ m}$ (يدعى بنصف قطر بور)، ويمثل المقدار Z العدد الذري للهيدروجين. يوضح الشكل (3a-4) الرسم التخطيطي للتابع ψ بدالة r من أجل $Z=1$ مع التابع الكمومي، ويظهر أن الإلكترون يخترق الحاجز الكمومي. لنbin الآن سلوك مربع التابع الموجي $|\psi(r)|^2$ ، الذي يمثل تابع الكثافة الاحتمالية الإلكترونية، وكيف يتوزع الإلكترون حول النواة. يوضح الشكل (3b-4) الرسم التخطيطي لهذا المربع بصفته تابعاً لـ r ، ويقال إن الكثافة الاحتمالية في هذه الحالة أعظمية عند النواة ($r=0$)، وتهبط إلى الصفر عندما يتناه r إلى اللانهاية [تبعاً للعلاقة (9.4)]. إن المهم للكيميائي هو عرض الكثافات الإلكترونية أو غمامات الشحنة في الذرات والجزيئات، ويوجد طرائق متعددة لرسم أو وصف هذه الكثافات، ويوضح الشكل (3a-4) بعض هذه التصورات من أجل التابع الموجي لأخفض طاقة. يوضح المخطط الدائري أن الكثافة تتزايد أو تتناقص بكمية محددة [الشكل (3d-4)], ويظهر الشكل (3e-4) الصورة الثلاثية الأبعاد للمخطط الدائري من أجل $|\psi_{1s}|^2$ ، في حين يمثل الشكل (3f-4) أبسط تمثيل للتوزع الإلكتروني بإطار واحد، ويحصر كمية محددة (ولتكن 90%) من الشحنة الإلكترونية (وصفتنا الإلكترونون بصفته إلكتروناً يحمل شحنة). وهذا متحركة بسرعة حول النواة، ولكن يفضل تصوره بصفته إلكتروناً يحمل شحنة. وهذا يمكن القول إن 90% من شحنة الإلكترون متضمنة داخل هذا السطح هذا يعني أن 10% المتبقى من الشحنة موجودة في مكان آخر).



الشكل (3-4): (a) التابع الموجي لنزرة الهيدروجين المتقطاع مع منحني الطاقة الكامنة. (b) مربع التابع الموجي من أجل H و He^+ . (c) الصورة المنقطة للتوزع الإلكتروني، (d) المخطط الدائري للتوزع الإلكتروني. (e) الشكل الثلاثي الأبعاد للمخطط (d). (f) توزع إلكتروني بإطار وحيد.

تمثل الكثافة الاحتمالية $|\psi(r)|^2$ مقياساً لاحتمال وجود الإلكترون عند مسافات محددة عن النواة في واحدة الحجم. عندما نقارن عنصر حجمي صغير بالقرب من النوى مع عنصر آخر مماثل، نجد من الشكل (3-4) أنه يوجد بالفعل احتمال قوي لوجود الإلكترون في عنصر حجمي بالقرب من النواة، ويوضح الشكل (4-4) مخطط الكثافة الاحتمالية الإلكترونية الحجمية $4\pi r^2 |\psi|^2$ ، ويتبين من هذا الشكل أن القيمة الأكثراً احتمالاً للمتحول r (r_{mp}) تحصل عند مسافة عن النواة مغيرة لصفر.



الشكل (4-4): الكثافة الاحتمالية الحجمية لتابع خاص بأحفض طاقة لشاردة شبيه بذرة الهيدروجين. إن القيمة الأكثر احتمالاً r تقع عند r_{mp} .

مثال 3-4: قدر كمية الشحنة الكهربائية في طبقة كروية سماكتها 1.00 pm ونصف قطرها 60.0 pm لذرة الهيدروجين في الحالة 1s

الحل: تذكر من المثال (1-4) أنه يمكن من أجل الطبقات الرفيعة تقدير حجم الطبقة بأخذ مساحتها وضربها بسمكتها، ويمكن أن نتوقع أيضاً أن تتغير كثافة الاحتمال 2 [١] تغيراً قليلاً عند السماكة 1.00 pm للطبقة، ولذلك يمكن أخذ قيمتها عند بصقها مقداراً ثابتاً. عنده، يمكن التعبير عن كثافة الشحنة بالعلاقة الآتية:

$$\text{كثافة الشحنة} = e \cdot |\psi|^2 \quad (r = 60 \text{ pm}) = (\pi a_0^3)^{-1} \exp(-2(60 \text{ pm})/a_0)$$

تنكر أن $a_0 = 53.9 \text{ pm}$ ، وينتج عن هذه القيمة $0.0329a_0^{-3}$ ، وهذا يعطي الكثافة لكل بور مكعب ، ويمكن تحويل هذه الكثافة إما إلى كثافة لكل بيكومتر مكعب بالتبسيم على 52.9 pm/bohr^3 ، وإما تحويل r إلى بور بالتبسيم على 52.9 pm/bohr .
 نختار الآخر . عند ذٰلٰي $r = 60.0 \text{ pm} / 52.9 \text{ pm/bohr} = 1.13a_0$. وهكذا فإن حجم الطبقة تساوى: $\Delta r = 1.00 \text{ pm} / 52.9 \text{ pm/bohr} = 0.0189a_0$.

$$V = 4\pi r^2 \times \Delta r = 4\pi (1.13a_0)^2 (0.0189a_0) = 0.3028a_0^3$$

أما الكثافة \times الحجم فتساوي:

$$V \times |\psi|^2 = (0.3028a_0^3) \times (0.0329a_0^{-3}) = 0.010$$

وَهُكُمْ يَوْجِدُونَ 1% مِنَ الشُّحْنَةِ الْكَهْرَبَائِيَّةِ فِي هَذِهِ الطِّبْقَةِ.

يمكن حساب قيمة r_{mp} ، أي قيمة r التي تعطي القيمة العظمى للمقدار $|\psi^2|$ ، وذلك بجعل مشتقه الأول مساوياً الصفر، أي يجب أن يكون:

$$(d/dr)4\pi r^2\pi^{-1}(Z/a_0)^3 \exp(-2Zr/a_0) = 0 \quad (10.4)$$

وهذا يعطى:

$$\text{constant} \times [2r - (2Zr^2/a_0)] \exp(-2Zr/a_0) = 0 \quad (11.4)$$

ينعدم المقدار بين القوسين عندما $Z = 1$ ، $r = a_0/Z$ ، وهذا يمثل قيمة r_{mp} . ومن أجل $Z = 1$ فإن $r = a_0$ ؛ إذ يمثل a_0 بعد الإلكترون عن النواة الأكثر احتمالاً في ذرة الهيدروجين. أما من أجل الشاردة He^+ ($Z=2$)، تنخفض المسافة الأكثر احتمالاً إلى النصف فقط، وهذا متزامن مع سحابة الشحنة الذي يحملها.

نهم في أحوال كثيرة بالقيمة المتوسطة لبعد الإلكترون عن النواة. إذا أخذنا بعد الحظي للإلكترون عن النواة مرات عديدة، وحسبنا القيمة المتوسطة، ما نمط النتيجة الحاصلة؟ يعطى احتمال وجود الإلكترون عند أي بعد معين بالكثافة الاحتمالية الحجمية المبينة في الشكل (4-4)، وتبين دراسة ذلك الشكل أن القيمة الوسطية لوضع الإلكترون \bar{r} أكبر بكثير من r_{mp} ، أي من القيمة الأكثر احتمالاً. ولكن بكم يكون \bar{r} أكبر من r_{mp} بدقة؟ وكيف يمكن تقدير القيمة المتوسطة؟ إن الطالب معتمد على أخذ المتوسط الحسابي لمجموعة من النقاط. فمثلاً، لنفترض أنه قدم تسعة طلاب امتحاناً بمادة ما، وحصلوا على الدرجات الآتية: 100، 0، 20، 20، 60، 80، 80، 80، 80. عندئذ يمكن حساب الدرجة المتوسطة من العلاقة الآتية:

$$\frac{1}{N} \sum_{i=1}^N b_i = \frac{0+20+20+60+60+80+80+80+100}{9} = 56$$

عوضاً عن جمع الدرجات، يمكن إجراء جمع الدرجات المحتملة بضرب كل درجة محتملة بعدد مرات اكتشافها (أو بتكرارها)، ونحصل بذلك على علاقة مكافئة:

$$\frac{1}{N} \sum_{i=1}^N n_i b_i = \frac{1(0) + 2(20) + 2(60) + 3(80) + 1(100)}{9} = 56$$

وهكذا يعبر عن القيمة المتوسطة لخاصة فيزيائية B بالعلاقة الآتية:

$$\bar{B} = \frac{1}{N} \sum_b n_b b = \sum_b \left(\frac{n_b}{N} \right) b \quad (12.4)$$

ولما كان N يمثل عدداً كبيراً، فإن النسبة n_b/N تمثل احتمال (P_b) اكتشاف القيمة b ، وتصبح العلاقة (12.4) على النحو الآتي:

$$\bar{B} = \sum_{i=1}^N b P_b \quad (13.4)$$

تستخدم الفكرة نفسها لتقدير المتوسط الكمومي. فمن أجل القيمة المتوسطة للمتحول r ، يمثل المقدار $dV |\psi|^2$ احتمال اكتشاف الإلكترون عند مسافة r ، ولما كانت عملية جمع الاحتمالات الامتناهية في الصغر تكافئ عملية التكامل، فإن القيمة المتوسطة للمتحول r تبعاً للعلاقة (13.4) تصبح على النحو الآتي:

$$\bar{r} = \int_{\text{all space}} r |\psi|^2 dV = \int_0^{2\pi} d\phi \int_0^{\pi} \sin \theta d\theta \int_0^{\infty} r |\psi|^2 r^2 dr \quad (14.4)$$

ترتبط التكاملات بالنسبة إلى θ و ϕ بجزء العنصر الحجمي dV ، وليس بالتتابع $|\psi|^2$ ؛ لأن هذا التابع (9.4) لا يتعلق بـ θ و ϕ . وهكذا نجد:

$$\bar{r} = \phi \Big|_0^{2\pi} \cdot -\cos \theta \Big|_0^{\pi} \cdot \pi^{-1} (Z/a_0)^3 \int_0^{\infty} r^3 \exp(-2Z/a_0) dr \quad (15.4)$$

بالعودة إلى المعلومات في الملحق 1 من أجل التكامل بالنسبة إلى r ، يصبح هذا التكامل على النحو الآتي:

$$\bar{r} = \frac{2\pi[-(-1)+1](1/\pi)(Z/a_0)^3 3!}{(2Z/a_0)^4} \quad (16.4)$$

$$= 4\pi \cdot (1/\pi) (Z/a_0)^3 \cdot 6a_0^4 / 16Z^4 = \frac{3a_0}{2Z} \quad (17.4)$$

(تجدر الإشارة هنا إلى أن التكامل بالنسبة إلى الجزأين θ و ϕ يعطي القيمة 4π بصفتها نتيجة إذا لم يوجد أي تابع آخر متعلق بالزوايا في التكامل)، وتشير مقارنة (17.4) مع عبارتنا من أجل r_{mp} إلى أن r أكبر بنحو مرة ونصف من r_{mp} . لاحظ أن التابع الخاص لأخفض طاقة يكون محدوداً (متناهياً) عند $r=0$ ، على الرغم من أن V لامتناهية هنا. وهذا مسموح به بحسب مناقشتنا في الفصل الثاني؛ لأن

اللانهائية في V تحصل فقط عند نقطة واحدة، ولذلك يمكن شطتها نتيجة الانقطاع في المشتق الأول للتابع V . يعد هذا ممكناً إذا كان V متمتعاً بعقة عند $r = 0$ [انظر الشكلين (3a-4) و (3e-4)].

4-1-4 الأعداد الكمومية والتسمية

Quantum Numbers and Nomenclature

ثمة ثلاثة أعداد كمومية، n ، l ، و m (جميعها أعداد صحيحة) مميزة لكل حل لمعادلة شرودينغر (6-4)، ويدخل n في عبارة الطاقة (8.4) فقط، وتضم جميع الحلول القيم نفسها لـ n ، ولكن تكون القيم المختلفة لـ l و m متوازدة. كما بينا في الفقرات السابقة، إن هذه الأعداد الكمومية متراقبة بقيمتها المسموح بها. يجب أن يكون العدد الكموي l غير سالب، وأقل من n ، وقد يكون العدد m موجباً أو سالباً أو يساوي الصفر، ولكن يجب أن لا تتجاوز قيمته المطلقة قيمة l . عندئذ نقول إن:

$$l = 0, 1, 2, \dots, n-1 \quad (18.4)$$

$$|m| \leq l \quad (19.4)$$

فعنديما يكون $n = l = m = 0$ ، يكون $l = m = 0$ من أجل التابع الموجي لأخفض طاقة، والموصوف سابقاً، ولا يوجد أي خيار آخر محتمل، ولذلك فهذه السوية غير متوازدة، وتعزى تقليدياً (من الأطيفات النزية) إلى الحل $l = 0$ بوصفه التابع s ، أو المدار s (فمن أجل $l = 0, 1, 2, 3, 4, 5$ ، يعطي التعريف الطيفي لهذه الحلول المدارات s ، و p ، و d ، و f ، و g ، و h على الترتيب). لما كان n مساوياً الواحد، يرمز التابع الموجي بالرمز s . وعندما $n = 2$ ، يوجد أربع مجموعات للعددين الكمويين l و m يتحققان القاعدتين (18.4) و (19.4). التي تكتب على النحو الآتي (مع رموزها الطيفية):

$$\begin{array}{lll} l = 0, m = 0 & 2s & l = 1, m = 0 & 2p_0 \\ l = 0, m = -1 & 2p_{-1} & l = 1, m = +1 & 2p_{+1} \end{array} \quad (20.4)$$

يمكن تطبيق هذه القواعد على سوية الطاقة $n = 3$ ، لتشكيل تسعه توابع تسمى $3s$ ، $3p_{-1}$ ، $3p_0$ ، $3p_{+1}$ ، $3d_{-2}$ ، $3d_0$ ، $3d_{+1}$ ، $3d_{-1}$ ، $3d_{+2}$. في الحالة العامة، يحدد تواجد سويات الطاقة الموصوف بوساطة n بالمقدار n^2 .

مثال 4-4: بين كيف يمكن التأكيد من قاعدة الأعداد الكومومية أن التوالد يمثل n^2 .

الجواب: تشير القاعدة أنه يوجد n قيمة للعدد l من أجل كل قيمة للعدد n (فمثلاً من أجل $l=1$ لدينا $n=0,1$ ، ومن أجل $l=2$ لدينا $n=0,1,2$ ، وكل قيمة للعدد l مترابطة مع $(2l+1)$ قيمة للعدد m_l (فمثلاً من أجل $l=2$ ، لدينا $m_l=-2,-1,0,1,2$ ، التي تمثل خمس سويات). لاحظ أن $2l+1$ يجب أن يمثل عدداً فردياً للحالات، ويترافق العدد الفردي ضمن كل مجموعة بزيادة l . وهكذا، فمن أجل $n=4$ ، فإن $l=0,1,2,3$ تعزى إلى المجموعات المتوازدة للحالات التي تضم الأعداد 1، و 3، و 5، و 7 على الترتيب. ولكن تعاقب الأعداد الفردية للعدد n ، الذي يبدأ من 1، يساوي دائماً n^2 .

5-1-4 طبيعة حلول الطاقات الأعلى

Nature of the Higher-Energy Solutions

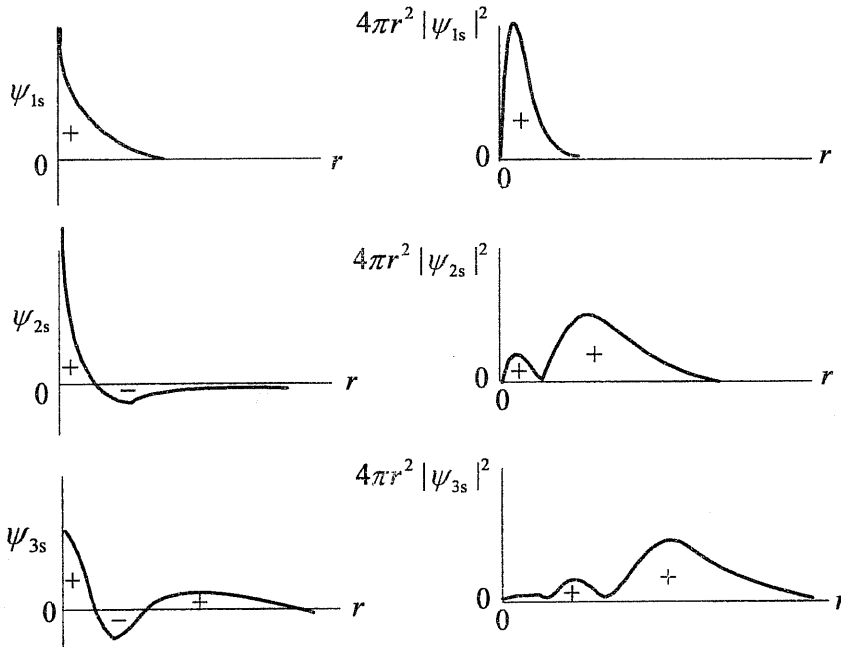
تضم سوية الطاقة الثانية المدارات $2s$ ، و $2p_{+1}$ ، و $2p_0$ ، و $2p_{-1}$ ، ويعطى التابع

الموجي من أجل الحالة $2s$ على النحو الآتي:

$$\psi_{2s} = \underbrace{\frac{1}{\sqrt{4\pi}}}_{\text{ التابع القطري}} \underbrace{\frac{1}{2\sqrt{2}} \left(\frac{Z}{a_0} \right)^{3/2} \left(2 - \frac{Zr}{a_0} \right) \exp\left(\frac{-Zr}{2a_0} \right)}_{\text{ التابع الزاوي}} \quad (21.4)$$

ولما كان هذا التابع تابعاً للمتحول r فقط، ولا يتعلّق بالزاوين θ و φ ؛ لأن التابع الزاوي يمثل مقداراً ثابتاً ($1/\sqrt{4\pi}$)، وهو الذي يحدد الشكل الفراغي للمدار الذري، ولذلك تكون المدارات الذرية ns متناظرة كروياً، لأن المحل الهندسي عبارة عن كرة مهما تكن قيم θ و φ ، ويكون المدار $2s$ أكثر انتشاراً (أكثر تمدداً) من المدار $1s$ ؛ لأن الجزء الأسوي في ψ_{2s} يتلاشى تدريجياً ببطء أكثر، وكذلك بسبب ضرب الأس بالمقدار (Zr/a_0). ونتيجة لذلك تكون الشحنة المرافقية للمدار $2s$ أكثر انتشاراً (لهذا السبب، عندما نقترب من الذرات متعددة الإلكترونات، مثل البيريليوم، تملأ الإلكترونات في المدارين $1s$ و $2s$ ، وتدعى الإلكترونات $2s$ الإلكترونات الخارجية، في حين تدعى الإلكترونات $1s$ الإلكترونات الداخلية). يكون المقدار ($2 - Zr/a_0$) موجباً عند القيمة

الصغيرة للمتحول r ، ويصبح سالباً عند مسافة كبيرة، ولذلك يمتلك ψ_{2s} بعقدة قطرية كروية (يساوي الصفر في الإحداثية r). يبين الشكل (5-4) مخطط لثلاثة مدارات s . نلاحظ أن المدار s الموافق للعدد n يمتلك بسطوح عقدية كروية عددها $(1-n)$ ، فنفصل المناطق التي تمتلك عندها التوابع الموجية إشارات مختلفة. تظهر العقد أكثر فأكثر في الإحداثية القطرية بزيادة الطاقة، بصورة مشابهة للأمثلة السابقة. يكون المدار $2s$ متعاملاً مع المدار $1s$ ، وكذلك الأمر مع جميع المدارات الأعلى من النوع s . إن هذا لا يكون ممكناً، إلا إذا وجدت العقد القطرية. ينعدم الجداء $\psi_{1s}\psi_{2s}$ عند تكامله فقط إذا انعدم في كل مكان أو أن يمتلك بمناطق موجية وسالبة، التي تشطب عند التكامل [نظر الفقرة (4-2-2)]. لما كان ψ_{1s} و ψ_{2s} على الأغلب محدودين في كل مكان، فإن الشرط الأول لن يحصل، ولما كان التابع ψ_{1s} يمتلك بالإشارة نفسها في كل مكان، فإن حاصل الجداء يمكن أن يمثل مناطق موجية وسالبة **فقط** إذا كان للمدار ψ_{2s} مناطق موجية وسالبة، ولهذا السبب تظهر العقدة.



الشكل (4-5): تغير التوابع ns بتغير r ، وتغير الكثافات الإلكترونية $4\pi r^2 |\psi_{ns}|^2$ بتغير r من أجل شاردة شبيه بذرة الهيدروجين.

لدرس الآن التابع $2p$ ، التي يعبر عنها بالعلاقات الآتية:

$$\psi_{2p_0} = \frac{1}{4\sqrt{2\pi}} \left(\frac{Z}{a_0} \right)^{3/2} \frac{Zr}{a_0} \exp\left(\frac{-Zr}{2a_0} \right) \cos\theta \quad (22.4)$$

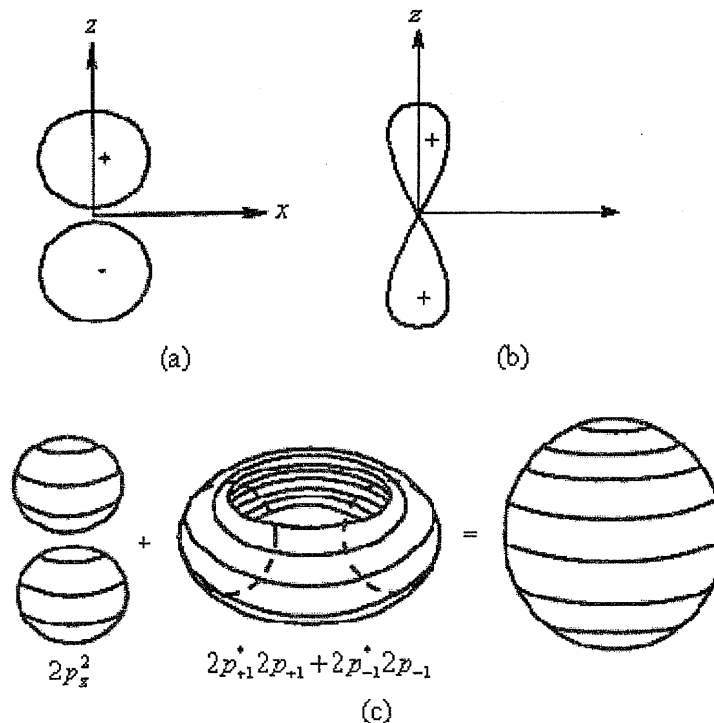
$$\psi_{2p_{\pm 1}} = \mp \frac{1}{8\sqrt{2\pi}} \left(\frac{Z}{a_0} \right)^{3/2} \frac{Zr}{a_0} \exp\left(\frac{-Zr}{2a_0} \right) \sin\theta \exp(\pm i\phi) \quad (23.4)$$

تتمتع جميع هذه التابع بتابع أسي قطري مشابه للتابع $2s$ [العلاقة (21.4)], ولذلك يمكن ملاحظة أن المدارين $2s$ و $2p$ تقريباً متساويان بالحجم. ولكن لما كانت المدارات $2p$ تضم العامل (Zr/a_0) ، في حين يضم المدار $2s$ العامل $(2-Zr/a_0)$ ، تendum المدارات $2p$ عند النوى، وليس عند قيمة للمتحول r ، إذ لا تتمتع بعقد قطبية. تتمتع المدارات $2p$ بخصائص توجيهية نتيجة ارتباطها بالزوايا، ويمكن بسهولة أن نفهم المدار $2p_0$ عملياً بسبب العامل $r \cos\theta$ المماثل بدقة للإحداثية z في جملة الإحداثيات القطبية الكروية [انظر الشكل (1-4)]. ولهذا السبب يكتب $2p_0$ (الذي يدعى $2p_z$ أيضاً) في الإحداثيات المختلطة:

$$\psi_{2p_z} = \frac{1}{4\sqrt{2\pi}} \left(\frac{Z}{a_0} \right)^{3/2} z \exp\left(\frac{-Zr}{2a_0} \right) \cos\theta \quad (24.4)$$

(يجب أن نكون على حذر عند التمييز بين العدد الذري Z والإحداثية z). يعد الحد الأسي في العلاقة (24.4) متاظراً كروياً، ومشابهاً للمدار $1s$ الانبعاثي. ينعد التابع p_z في المستوى xy ، ويصبح موجياً أو سالباً أكثر فأكثر كلما ابتعدنا عن المستوى في أي اتجاه، ويظهر في النتيجة المدار ψ_{2p_z} كما هو مبين في الشكل (4-6). فهو يتمتع بفلقتين كرويتين تقريباً، إداهما بطور موجب، والأخرى بطور سالب، وعند تربيع ψ_{2p_z} ، يصبح التابع مغزلي الشكل [الشكل (4-6b)] (لأنه ناتج عن رسم مربع التابع الزاوي بدالة $\cos^2\theta$)، ولكن يصبح التابع بإشارة موجبة في كل مكان.

إن تصور المدارين $2p_{\pm 1}$ أكثر صعوبة، لأنهما يمثلان تابعين عقديين، ولكن يجب أن يكون تابع التوزع الاحتمالي الموافق حقيقياً، والذي يحدد بالمقدار ψ^* ؛ إذ يمثل



الشكل (6-4): (a) شكل المدار $2p_z$. (b) شكل لمربع التابع الراوي للمدار $2p_z$. (c) شكل $-\psi_{2p_z}^* + \psi_{2p_{-1}}^* + \psi_{2p_{+1}}^* \psi_{2p_{-1}} + \psi_{2p_{+1}}^* \psi_{2p_{+1}}$ توزع متوازن كروياً. إن الخطوط المنحنية في (c) تمثل أداة مساعدة للتصور وليس لها معنى فيزيائي.

ψ^* التابع الموجي العقدي المرافق التابع ψ (تذكر أن المقدار $\psi^* \psi$ يستخدم من أجل التوزع الاحتمالي في حالة التوابع العقدية بدلاً من ψ^2). للحصول على التابع العقدي المرافق، نقلب إشارة التابع العقدي الأصلي، ويتبين من العلاقة (23.4) أن $\psi_{2p_{-1}}^* = -\psi_{2p_{+1}}$ ، و $\psi_{2p_{+1}}^* = -\psi_{2p_{-1}}$. وبناءً على ذلك نجد أن:

$$\psi_{2p_{+1}}^* \psi_{2p_{-1}} = \psi_{2p_{-1}}^* \psi_{2p_{-1}} = -\psi_{2p_{+1}} \psi_{2p_{-1}}$$

إذ يعطي كل من المدارين $2p_{+1}$ و $2p_{-1}$ التوزع نفسه للشحنة. ويعطي المدار $2p_z$ التوزع نفسه باستثناء أن التابع الراوي يمثل $(\frac{1}{2} \sin^2 \theta)$ بدلاً من $\cos^2 \theta$. ولكن $\sin^2 \theta + \cos^2 \theta = 1$ ، فينتج من ذلك أن مجموع السhabitين للشحنة في $2p_{+1}$ و $2p_{-1}$

يجب أن يمثل المجموع الناتج عن ضم السحابة الكروية من أجل $2p_0$ (بسبب عدم وجود التابع الزاوي). لقد وجدنا سابقاً أن توزع $2p_z$ يكون بشكل كرتين، وينتج من ذلك أن $2p_{+1}$ و $2p_{-1}$ يشكلان توزعاً على شكل كعكة [أي الكرة ناقص كرتين أصغر تكافئ الكعكة، انظر الشكل (6-4)], ويمكن تحديد الشكل من التابع $\sin^2 \theta$ ، الذي يكون أعظمياً في المستوى xy .

عند حل مسألة حركة جسيم على دائرة، توصلنا إلى مجموعة حلول متثلثة حقيقية أو مجموعة حلول أسيّة عقدية، ولما كان التابع المداري $2p_{+1}$ المتعلق بالزاوية ϕ متماثلاً من أجل الحلين $m = \pm 1$ لجسيم في دائرة، تحصل الحالة نفسها هنا. لما كان التابعان $\psi_{2p_{+1}}$ و $\psi_{2p_{-1}}$ يمثلان تابعين خاصين متعددين، فإن أي تركيب خططي لهما يمثل أيضاً تابعاً حقيقياً تماماً، ويتحقق الجزء العقدي للتابع $\psi_{2p_{\pm 1}}$ العلاقة الآتية:

$$\exp(\pm i\phi) = \cos \phi \pm i \sin \phi \quad (25.4)$$

بحيث يكون:

$$\exp(+i\phi) + \exp(-i\phi) = 2 \cos \phi \quad (26.4)$$

$$i^{-1}[\exp(+i\phi) - \exp(-i\phi)] = 2 \sin \phi \quad (27.4)$$

وهكذا نجد تركيبين خططيين حقيقين للتابع $\exp(\pm i\phi)$ ، وينتج من ذلك مباشرةً أن:

$$\psi_{2p_x} = \frac{1}{\sqrt{2}} [\psi_{2p_{-1}} - \psi_{2p_{+1}}] = \frac{1}{4\sqrt{2}\pi} \left(\frac{Z}{a_0} \right)^{3/2} \frac{Zr}{a_0} \exp\left(\frac{-Zr}{2a_0} \right) \sin \theta \cos \phi \quad (28.4)$$

$$\psi_{2p_y} = \frac{i}{\sqrt{2}} [\psi_{2p_{-1}} - \psi_{2p_{+1}}] = \frac{1}{4\sqrt{2}\pi} \left(\frac{Z}{a_0} \right)^{3/2} \frac{Zr}{a_0} \exp\left(\frac{-Zr}{2a_0} \right) \sin \theta \sin \phi \quad (29.4)$$

علمًا أن العامل $r \sin \theta \sin \phi$ ينبع عن التنظيم، ونظراً لتكافؤ $r \sin \theta \cos \phi$ و $r \sin \theta \sin \phi$ للإحداثيتين الديكارتيتين x و y على الترتيب، وبالعودة إلى العلاقات (28.4) و (29.4)، فإنهما يشيران إلى المدارين x و y ، فهما مشابهان بدقة المدار $2p_z$ باستثناء

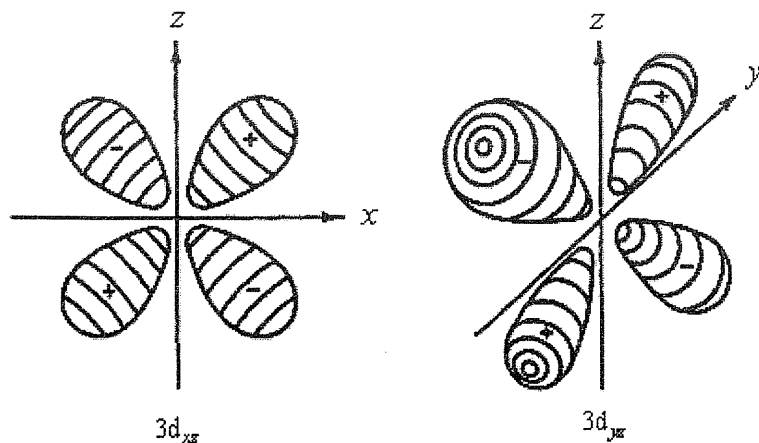
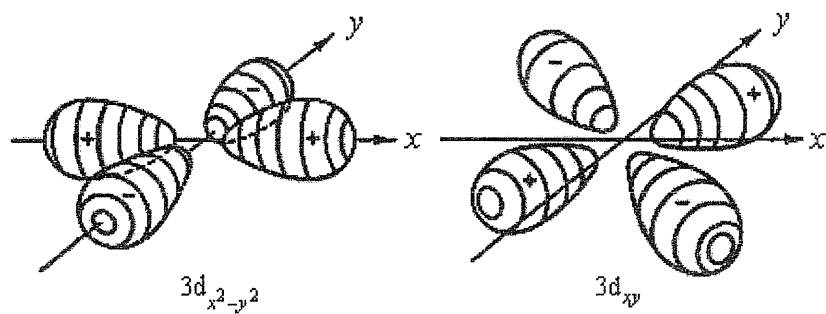
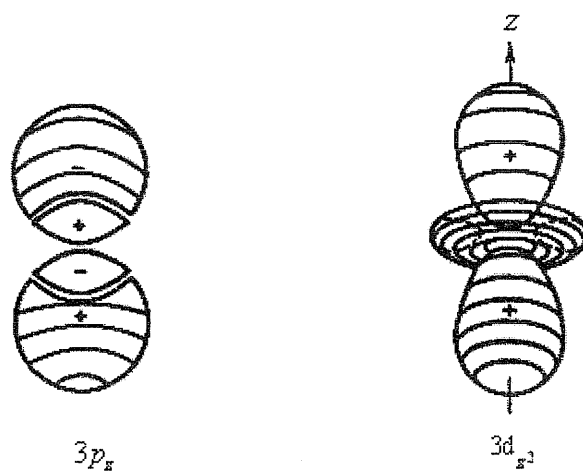
توجهما على امتداد المحورين x و y (يمكن أن يحل x أو y محل z المعطى في العلاقة (24.4)]. تحقق المدارات $2s$ ، $2p_x$ ، $2p_y$ ، $2p_z$ شرط التعامد، ويمكن إظهار ذلك بسهولة من دراسة التناظر، ويعد كل مدار $2p$ مضاداً للتناظر بالنسبة إلى الانعكاس ضمن مستوى العقدة، في حين يكون المدار $2s$ متناهراً لجميع الانعكاسات. وبناءً على ذلك يكون الجداء $2s/2p$ مضاداً للتناظر دائماً بالنسبة إلى الانعكاس، ولذلك ينعدم التكامل، وتكون التوابع $2p$ متعامدة بالفعل؛ لأنه إذا كان المدار $2p$ مضاداً للتناظر بالنسبة إلى انعكاس ما، فإن المدار الآخر يجب أن يكون متناهراً بالنسبة إلى الانعكاس، ويصبح ناتج الجداء مضاداً للتناظر بالنسبة إلى ذلك الانعكاس أيضاً.

تتمتع السويات $n=3$ بتسعة حلول مرتبطة بها، ويكون المدار $3s$ ، المرسوم في الشكل (5-4)، أكثر انتفاخاً من المدار $2s$ ، وأكثر انتشاراً، ويكون للمدارات $3p$ الحدود الزاوية نفسها كما للمدارات $2p$ ، ولذلك تكتب بصفتها توابع حقيقة متمتعة بالخصائص التوجيهية نفسها على المحاور x ، y ، z ، التي تعبّرها هذه المدارات عبر عقدة قطرية، وهي أكثر انتشاراً أيضاً [انظر الشكل (7-4)].

يمكن كتابة المدارات الخمسة المتبقية، أي السويات $3d$ ، إما بصيغة رياضية عقدية، وإما بصيغة رياضية حقيقة:

$$\begin{aligned}
 3d_{z^2} &= \left((1/\sqrt{3})(3\cos^2\theta - 1) \right. \\
 3d_{x^2-y^2} &= \left. \sin^2\theta \cos 2\phi \right. \\
 3d_{xy} &= \left. \sin^2\theta \cos 2\phi \right. \\
 3d_{xz} &= \left. \sin 2\theta \cos\phi \right. \\
 3d_{yz} &= \left. \sin 2\theta \sin\phi \right. \quad (4.30)
 \end{aligned}$$

وهذه العوامل الزاوية، المضروبة بالمقدار r^2 ، تتمتع بخصائص توجيهية متشابهة، باستثناء أن $3d_z$ الذي يمثل اختصاراً للمدار $3d_{z^2}$ ، ويوضح الشكل (8-4) هذه المدارات. يتضح من هذه الأشكال أن $3d_{x^2-y^2}$ يتمتع بالتناظر نفسه والتوجّه نفسه كما لمجموع متجهتين x^2 و y^2 ، أما المدارات $3d$ الأخرى فترتبط بدلائلها (باستثناء $(3d_z)$ ، ولا تتمتع التوابع $3d$ بعقد قطرية عند قيم وسطية لـ r).



الشكل (7-4): بعض المدارات لذرات شبيهة بالهيدروجين عند السوية $n = 3$.

يمكن تقسيم التوابع الخاصة الموافقة للحالات بطبقات مستمرة، بصورة مشابهة للحالات الرابطة، إلى أجزاء قطبية وزاوية، وتمثل الأجزاء القطبية توابع خاصة متاظرة كروياً عند طاقات غير سالبة كما هو مبين في الشكل (4-8). لاحظ أن سرعة تذبذب هذه التوابع تصبح أعظمية عند النواة؛ إذ تكون عندها الطاقة الحركية أعظمية، وهذا ينسجم مع المفاهيم التي عرضت في الفصلين الأول والثاني، ولا تستخدم التوابع الموجية للحالات غير الرابطة في معظم تطبيقات الكيمياء الكمية، لذلك لن نتعرض إليها في هذا الكتاب.

Separation of Variables

4-2 فصل المتغيرات

سنشير إلى الوسيلة، التي من خلالها حلت معادلة شرودينغر (6.4)، بصورة مفصلة نوعاً ما. وبالعودة إلى إجراءات فصل المتغيرات التي استخدمت في الفقرة 7-2، يمكن تلخيص فصل المتغيرات على النحو الآتي:

1. يكتب ψ بصفته جداء توابع، بحيث ينبع كل تابع منها بمتغير واحد فقط.
2. يعرض هذا الجداء في معادلة شرودينغر، و تعالج المعادلة لتصبح على شكل مجموع حدود، بحيث ينبع كل حد بمتغير واحد فقط. يجب أن تجمع هذه الحدود لتمثل مقداراً ثابتاً.
3. لما كانت حدود المتغيرات المختلفة مستقلة عن بعضها، فإن الحدود من أجل كل متغير يجب أن يساوي الثابت، ويسمح لنا هذا باستنتاج المعادلة بدلاله كل متتحول. إذا استطعنا القيام بذلك، يتحقق الإجراء الأولى (1).

في هذه الحالة سنبدأ بالافتراض الآتي:

$$\psi(r, \theta, \phi) = R(r)\Theta(\theta)\Phi(\phi) \quad (31.4)$$

يعطي تعويض هذه العلاقة في العلاقة (6.4) النتيجة الآتية:

$$\begin{aligned} \frac{-h^2}{8\pi^2\mu r^2} \left[\Theta\Phi \frac{d}{dr} \left(r^2 \frac{dR}{dr} \right) + R\Phi \frac{1}{\sin\theta} \frac{d}{d\theta} \left(\sin\theta \frac{d\Theta}{d\theta} \right) + R\Theta \frac{1}{\sin^2\theta} \frac{d^2\Phi}{d\phi^2} \right] \\ - \frac{Ze^2}{8\pi\epsilon_0 r} R\Theta\Phi = ER\Theta\Phi \quad (32.4) \end{aligned}$$

ولما كان كل مؤثر اشتراكي يؤثر فيتابع لإحداثية وحيدة، يمكننا استخدام الرمز الكلي (d) للاشتقاق، وليس الجزئي (∂) .

لنقوم أولاً بعزل التابع Φ . يؤدي ضرب العلاقة (32.4) بالمقدار $-8\pi\mu r^2 \sin^2 \theta / h^2 R \Theta \Phi$ ، وإعادة ترتيب الناتج إلى العلاقة الآتية:

$$\begin{aligned} \frac{\sin^2 \theta}{R} \frac{d}{dr} \left(r^2 \frac{dR}{dr} \right) + \frac{8\pi^2 \mu r^2 \sin^2 \theta}{h^2} \left(E + \frac{Ze^2}{4\pi\epsilon_0 r} \right) \\ + \frac{\sin \theta}{\Theta} \frac{d}{d\theta} \left(\sin \theta \frac{d\Theta}{d\theta} \right) + \frac{1}{\Phi} \frac{d^2 \Phi}{d\phi^2} = 0 \end{aligned} \quad (33.4)$$

نلاحظ أن أول حددين يضم الإحداثيتين r و θ ، في حين يضم الحد الأخير الإحداثية ϕ ، وبالعودة إلى المناقشة التي تمت في الفقرة 7-2، يمكننا الآن تغيير ϕ بمفردها، بحيث تبقى الحدود الثلاثة الأولى في العلاقة (33.4) ثابتة (غير متغيرة). عندئذ يمكن كتابة العلاقة (33.4) على النحو الآتي:

$$\text{constant} + \text{constant} + (1/\Phi) \left(d^2 \Phi / d\phi^2 \right) = 0 \quad (34.4)$$

ولذلك:

$$(1/\Phi) \left(d^2 \Phi / d\phi^2 \right) = -m^2 \text{ (a constant)} \quad (35.4)$$

إذ رمنا إلى الثابت (constant) بالرمز $-m^2$. يمكن إعادة كتابة العلاقة (35.4) في صيغة أكثر ملائمة لمعادلة القيمة الخاصة بالشكل:

$$d^2 \Phi / d\phi^2 = -m^2 \Phi \quad (36.4)$$

لقد توصلنا إلى العلاقة (36.4) بافتراض أن ϕ متغير فقط، في حين تبقى الإحداثيتان r و θ غير متغيرتين. ولكن من الواضح أن سلوك الحد $-\phi$ لن يتأثر عند تغيير r و θ ؛ لأنها لا يتعلق بهما الإحداثيتان. وهكذا إذا استطعنا إثبات أن هذا الحد يمثل ثابت عند شروط محددة، يمكن إظهار بالفعل أنه يجب أن يكون ثابتاً عند جميع الشروط، ويمكن استنتاج القيمة الخاصة الموافقة.

يمكننا الآن إجراء فصل المتغيرات الأخرى. لما كان الحد الأخير في العلاقة (33.4) ثابتاً، يمكن أن نكتب:

$$\frac{1}{R} \frac{d}{dr} \left(r^2 \frac{dR}{dr} \right) + \frac{8\pi^2 \mu r^2}{h^2} \left(E + \frac{Ze^2}{4\pi\epsilon_0 r} \right) + \frac{1}{\Theta \sin \theta} \frac{d}{d\theta} \left(\sin \theta \frac{d\Theta}{d\theta} \right) - \frac{m}{\sin^2 \theta} = 0 \quad (37.4)$$

لاحظ أنه قمنا بفصل التابعين r و θ بالتقسيم على $\sin^2 \theta$. لدينا الآن حدان؛ أحدهما متعلق بـ r ، والآخر متعلق بـ θ ، ومجموعهما يساوي الصفر. عندئذ إذا كان التابع المتعلق بـ r مساوياً لثابت ما، ولتكن β ، فإن التابع المتعلق بـ θ يجب أن يساوي $-\beta$ ، وبناءً على ذلك نكتب:

$$\frac{d}{dr} \left(r^2 \frac{dR}{dr} \right) + \frac{8\pi^2 \mu r^2}{h^2} \left(E + \frac{Ze^2}{4\pi\epsilon_0 r} \right) R = \beta R \quad (38.4)$$

$$\frac{1}{\sin \theta} \frac{d}{d\theta} \left(\sin \theta \frac{d\Theta}{d\theta} \right) - \frac{m}{\sin^2 \theta} = -\beta \Theta \quad (39.4)$$

إذ ضربنا المعادلة الأولى بالتابع R ، والمعادلة الثانية بالتابع Θ . وهذا يؤدي إلى الافتراض $R\Theta\Phi = \psi$ إلى فصل المعادلات من أجل R ، و Θ ، و Φ ، وهذا يشير إلى أن افتراض الفصل صحيح. ولكن يوجد بعض الروابط بين R و Φ عبر β ، وبين Θ و Φ عبر m .

3-4 حلول المعادلات Φ ، Θ ، و R

Solution of the Φ , Θ and R Equations

The Φ Equation

1-3-4 المعادلة Φ

بعد حل المعادلة (36.4) مشابهاً لحل مسألة جسم على دائرة (الفقرة 2-6)، ونكتب الحلول المنظمة على النحو الآتي:

$$\Phi = \left(\frac{1}{\sqrt{2\pi}} \right) \exp(im\phi), \quad m = 0, \pm 1, \pm 2, \dots \quad (40.4)$$

كما بينا في الفقرة 2-6 أن الثابت m يجب أن يمثل عدداً صحيحاً لكي يكون التابع وحيد القيمة، وهو يكافئ العدد الكمومي المغناطيسي.

2-3-4 المعادلة Θ

يوجد تشابه كبير بين الطرائق الرياضية المستخدمة في حل المعادلتين Θ و R ، وتمثل الطريقة المستخدمة لحل مسألة الهزار التوافقى وحيد البعد إحدى هذه الطرائق (الفصل الثالث). لذلك سنلخص فقط المراحل المرتبطة بهذه الحلول، وسنقدم بعض التعليقات حول النتائج، ويمكن الإطلاع على المعالجة التفصيلية في كتاب الكيمياء الكمية (الطبعة الأولى، انظر المراجع في نهاية الكتاب).

يمكن حل المعادلة Θ على النحو الآتي:

1. نبدل المتحوّلات للحصول على صيغة أكثر ملائمة من أجل المعادلة التفاضلية.

2. نعبر عن الحل بصفته سلسل قوى، ثم نحصل على علاقة المعاملات.

3. يلاحظ أن السلسل تتشعب من أجل قيم محددة للمتغيرات، مؤدية بذلك إلى توابع موجية غير قابلة للتكامل تربيعياً. يضبط ذلك بافتراض أن السلسل منتهية (منقطعة). إن هذا الشرط يضمن أن تكون السلسل المنقطعة إما متاظرة، وإما مضادة للناظر بالنسبة للمتحول، وتصبح أيضاً β في العلاقةين (38.4) و (39.4) متساوية إلى $(l+1)/l$ ؛ إذ يمثل l عدداً صحيحاً.

4. يعاد ترتيب هذه السلسل المنقطعة، وتنظيمها، لتمثل توابع ليجندر الخاصة (Legendre) المرافقـة.

5. نعيد المتحوّلات الأصلية للحصول على عبارة من أجل Θ بدلالة الإحداثيات الأولية.

بالعودة إلى نهاية الفقرة 4-3، نلاحظ التشابه بين هذه الحالة وحالة الهزار التوافقى، ونكتب النتيجة النهائية من أجل $0 \leq m \leq l$ على النحو الآتي:

$$\Theta_{l,m}(\theta) = (-1)^m \left[\frac{(2l+1)(l-|m|)!}{2(l+|m|)!} \right]^{1/2} P_l^{|m|}(\cos \theta) \quad (41.4)$$

يهمل العامل الطوري $(-1)^m$ من أجل $0 < m$ ، ويمثل الحد بين قوسين مربعين تابع للتنظيم، في حين يمثل $P_l^{|m|}(\cos \theta)$ بعض حدود السلسلة لتوابع ليجندر الخاصة

المرافق. عندما تكون $m = 0$ ، فإن هذه الحدود تمثل كثيرات حدود ليجاندر الخاصة، ويكتب البعض منها على النحو الآتي:

$$P_0(x) = 1, \quad P_1(x) = x, \quad P_2(x) = \frac{1}{2}(3x^2 - 1), \quad P_3(x) = \frac{1}{2}(5x^3 - 3x) \quad (42.4)$$

وتكتب كثيرات حدود ليجاندر المرافق الأولى على النحو الآتي:

$$\begin{aligned} P_1^1(x) &= (1-x^2)^{1/2}, \quad P_1^2(x) = 3(1-x^2)^{1/2}x \\ P_2^2(x) &= 3(1-x^2), \quad P_3^1(x) = \frac{3}{2}(1-x^2)^{1/2}(5x^2 - 1) \\ P_3^2(x) &= 15(1-x^2)x, \quad P_3^3(x) = 15(1-x^2)^{3/2} \end{aligned} \quad (43.4)$$

ويعد الشرط الآتي صحيحاً أيضاً:

$$l < |m| \text{ إذا كان } P_l^{|m|}(x) = 0 \quad (44.4)$$

وهكذا ينعدم $\Theta(\theta)$ ، وكذلك $\psi(r, \theta, \phi)$ عندما $|m| < l$ ، وهذا يمثل أحد قواعد الأعداد الكمومية [العلاقة (19.4)]. تحقق توابع ليجاندر المرافق علاقة التعامد الآتية:

$$\int_{-1}^{+1} P_l^{|m|}(x) P_{l'}^{|m|}(x) dx = \frac{2}{(2l+1)} \frac{(l+|m|)!}{(l-|m|)!} \delta_{ll'} \quad (45.4)$$

The R Equation

3-3-4 المعادلة R

يمكن حل المعادلة R على النحو الآتي:

1. يفترض أن تكون E سالبة (إن هذا مرتبط بالحالات الرابطة)، مع ملاحظة أن $\beta = l(l+1)$ من الحل السابق للمعادلة Θ .
2. نبدل المتغيرات تبديلاً ملائماً رياضياً.
3. نجد الحل المقارب الملائم لحدود r الكبيرة، لتصبح المعادلة R أبسط.
4. نعبر عن التوابع الموجية بصفتها حاصل ضرب الحل المقارب وتتابع غير معروف، ونكتب هذا التابع غير المعروف بصفته سلسلة قوى (بعد معاملتها على انفراد)، ثم نستنتج معادلة المعاملات.

5. يلاحظ أن سلسلة القوى تتفوق على الجزء المقارب للحل إلا إذا انقطعت السلسلة. وهذا يتطلب أن يمثل n عدداً صحيحاً، وأن تكون الطاقة E مكتملة.

ويتطلب أيضاً أن يكون $n > l$.

6. يعاد ترتيب السلسلة المنقطعة، وتنظيمها، لتمثل كثيرات حدود ليجندر

المرافقة $^l P$ ؛ إذ يحدد ρ أدناه.

وبالنتيجة يكتب الحل، إذا كان $m_e = \mu$ ، على النحو الآتي:

$$R_{nl} = - \left[\left(\frac{2Z}{na_0} \right)^3 \frac{(n-l-1)!}{2n[(n+l)!]^3} \right]^{1/2} \exp(-\rho/2) \rho^l L_{n+l}^{2l+1}(\rho) \quad (46.4)$$

إذ إن $\rho = 2Zr/na_0$ ، $a_0 = \epsilon_0 h^2 / \pi m_e e^2 = 5.2917706 \times 10^{-11}$ m، ويمثل الحد بين قوسين تابع للتنظيم، في حين يمثل الحد الآسي الحل المقارب، وهو يضمن أن يقترب $R(r)$ إلى الصفر عندما يقترب r إلى الالانهائية. ويظهر الحد الثالث، $^l P$ ، عندما تصبح أجزاء المعادلة التفاضلية في الالانهائية، ويشير الحد الأخير، $L(\rho)$ ، إلى الحدود المتتوعة لجملة كثيرات حدود لاجوير الخاصة المرافقة. يكتب بعض كثيرات حدود لاجوير الخاصة المرافقة ذات دلائل منخفضة على النحو الآتي:

$$\begin{aligned} L_1^1(\rho) &= 1, & L_2^1(\rho) &= 2\rho - 4 \\ L_3^1(\rho) &= -3\rho^2 + 18\rho - 18, & L_3^3(\rho) &= -6 \end{aligned} \quad (47.4)$$

Atomic Units

4-4 الوحدات الذورية

من الملائم تحديد جملة الوحدات الأكثر استخداماً مع الذرات والجزيئات. يضم الجدول (1-4) الجمل العامة المستخدمة للوحدات الذورية لبعض المقادير المهمة، ويضم الملحق 3 المعطيات الإضافية لقيم المقادير الفيزيائية، والوحدات، وعوامل التحويل.

تبعاً لهذه الوحدات، تصبح معادلة شرودينغر، وقيمها الخاصة الحاصلة، وتتابعها الخاصة من أجل الشوارد الشبيهة بالهيدروجين أبسط. فمثلاً تكتب معادلة شرودينغر في الوحدات الذورية (بافتراض أن $m_e = m_e = \mu$) على النحو الآتي:

الجدول (1-4): الوحدات الذرية.

قيمة بعض الخصائص الذرية في الوحدات الذرية (a.u.)	الوحدات الذرية ووحدات أخرى	القيمة
كثافة الإلكترون = 1 a.u.	$m_e = 9.109534 \times 10^{-28}$ g	الكتلة
البعد الأكثر احتمالاً للكترون 1s عن نواة ذرة H = 1 a.u.	$a_0 = 4\pi\epsilon_0\hbar/m_e e^2$ = $0.52917706 \times 10^{-10}$ m = (1 bohr)	الطول
الزمن اللازم لقطع الإلكترون 1s للذرة H مسافة قدرها 1 a.u. = 1 bohr	$\tau_0 = a_0\hbar/m_e e^2$ = 2.4189×10^{-17} s	الزمن
شحنة الإلكترون = 1 a.u.	$e = 4.803242 \times 10^{-10}$ esu = $1.6021892 \times 10^{-19}$ C	الشحنة
الطاقة الكلية للكترون 1s -1/2 a.u.	$e^2 / 4\pi\epsilon_0 a_0 = 4.350814 \times 10^{-18}$ J (= 27.21161 eV = 1 hartree)	الطاقة
العزم الزاوي لجسم على دائرة a.u. ... 2, 1, 0 =	$\hbar = h/2\pi$ = $1.0545887 \times 10^{-34}$ Js	العزم الزاوي
شدة الحقل الكهربائي عند مسافة 1 a.u. عن البروتون = 1 bohr	$e/a_0^2 = 5.1423 \times 10^9$ V/cm	شدة الحقل الكهربائي

$$\left(-\frac{1}{2} \nabla^2 - \frac{Z}{r} \right) \psi = E\psi \quad (48.4)$$

أما قيمتها الخاصة E , فتكتب بالشكل:

$$E_n = -\frac{Z^2}{2n^2} \quad (49.4)$$

ويكتب الحل لأخفض طاقة على النحو الآتي:

$$\psi_{1s} = \left(Z^3 / \pi \right)^{1/2} \exp(-Zr) \quad (50.4)$$

يضم الجدول (2-4) الصيغ الحقيقية، وليس العقدية، للحلول من أجل أيون شبيه بذرة الهيدروجين الأكثر أهمية في الكيمياء الكمية.

الجدول (2-4): التوابع الخاصة لشاردة شبيهة بالهيدروجين في الوحدات الذرية.

Spectroscopic symbol	Formula
1s	$(1/\sqrt{\pi})Z^{3/2} \exp(-Zr)$
2s	$(1/4\sqrt{2\pi})Z^{3/2}(2-Zr) \exp(-Zr/2)$
2p _x	$(1/4\sqrt{2\pi})Z^{5/2}r \exp(-Zr/2) \sin\theta \cos\phi$
2p _y	$(1/4\sqrt{2\pi})Z^{5/2}r \exp(-Zr/2) \sin\theta \sin\phi$
2p _z	$(1/4\sqrt{2\pi})Z^{5/2}r \exp(-Zr/2) \cos\theta$
3s	$(1/81\sqrt{3\pi})Z^{3/2}(27-18Zr+2Z^2r^2) \exp(-Zr/3)$
3p _x	$(\sqrt{2}/81\sqrt{\pi})Z^{5/2}r(6-Zr) \exp(-Zr/3) \sin\theta \cos\phi$
3p _y	$(\sqrt{2}/81\sqrt{\pi})Z^{5/2}r(6-Zr) \exp(-Zr/3) \sin\theta \sin\phi$
3p _z	$(\sqrt{2}/81\sqrt{\pi})Z^{5/2}r(6-Zr) \exp(-Zr/3) \cos\theta$
3d _{z²} ($\equiv 3d_{3z^2-r^2}$)	$(1/81\sqrt{6\pi})Z^{7/2}r^2 \exp(-Zr/3)(3\cos^2\theta - 1)$
3d _{x²-y²}	$(1/81\sqrt{2\pi})Z^{7/2}r^2 \exp(-Zr/3) \sin^2\theta \cos 2\phi$
3d _{xy}	$(1/81\sqrt{2\pi})Z^{7/2}r^2 \exp(-Zr/3) \sin^2\theta \sin 2\phi$
3d _{xz}	$(1/81\sqrt{2\pi})Z^{7/2}r^2 \exp(-Zr/3) \sin 2\theta \cos\phi$
3d _{yz}	$(1/81\sqrt{2\pi})Z^{7/2}r^2 \exp(-Zr/3) \sin 2\theta \sin\phi$

4-5 العزم الزاوي والتواافقات الكروية

Angular Momentum and Spherical Harmonics

لقد وجدنا هنا أن التوابع الخاصة تبدو توابعاً بسيطة مثلثية أو أسيّة للمتحول x ، والصيغة المثلثية شبيهة بالتتابع التواافقي لمواحة مستقرة لسلك بطول محدد، وسُنطّق على مثل هذه التوابع اسم التواافقات الخطية. أما في مسألة حركة جسم على دائرة، فوجدنا أنه يمكن التعبير عن الحلول إما بتتابع cosine أو sine، وإما بتتابع أسي للمتحول ϕ ، وبالمقارنة مع الحركة الخطية، سُنطّق على هذه التوابع اسم التواافقات الدائرية. وأخيراً، وصفنا الشاردة الشبيهة بالهيدروجين في الحالة التي يستطيع فيها الجسم أن يتحرك عبر مجال كامل لـ θ و ϕ (أي عند سطح الكرة) من دون تغير في الكمون، وقد وصفنا الحلول سابقاً - حاصل الجداء $(\phi)(\theta)(\Phi)$ - التي تدعى التواافقات الكروية، ويرمز لها بالرمز $Y_{l,m}(\theta, \phi)$. وهكذا نجد من أجل $m \geq 0$ أن:

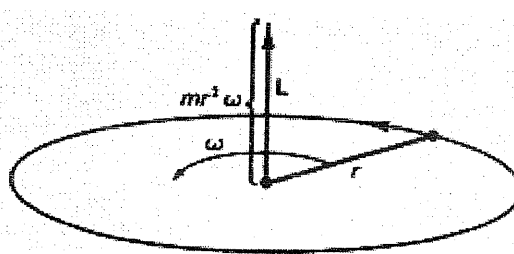
$$Y_{l,m}(\theta, \phi) = (-1)^m \left[\frac{(2l+1)}{4\pi} \frac{(l-|m|)!}{(l+|m|)!} \right] P_l^{|m|}(\cos \theta) \exp(im\phi) \quad (51.4)$$

ويهمل العامل $(-1)^m$ من أجل $m < 0$.

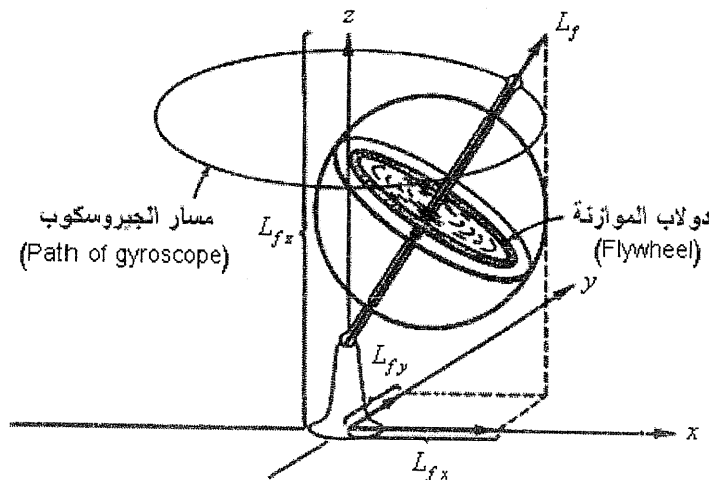
بسبب وجود العديد من الجمل الفيزيائية المتممّة بانتظار كروي، تعدد التوافقات الكروية مهمة جداً في الميكانيكين التقليدي والكمومي. يرتبط العزم الزاوي ارتباطاً شديداً بالتواافقات الكروية، فهو يمثل خاصية فيزيائية مهمة بسبب مصوّنتها في الجمل الديناميكية المعزولة؛ إذ إنه يمثل ثابت الحركة من أجل الجملة، ويعد العزم الزاوي كمية شعاعية؛ ولذلك فهو يمثل مقداراً موجهاً (متجه)، وتكون الجملة التقليدية، بغياب القوى الخارجية، مقيّدة بالحركة بذلك الوسيلة التي تحافظ فيها على جهة هذه المتجهة ومقدارها. فمن أجل كتلة قدرها $m \text{ kg}$ في مدار دائري نصف قطره r ، وسرعة زاوية ω ، فإن العزم الزاوي يساوي $mr^3\omega \text{ kg m}^2/\text{s}$ (أو جول في الثانية)، وتحدد جهة المتجهة بقاعدة اليد اليمنى: إذ يوضع إبهام اليد اليمنى على امتداد متجهة العزم الزاوي [انظر الشكل (10-4)] (إن الوسيلة البديلة لجملة إحداثيات اليد اليمنى، هي أن حركة الكتلة في المستوى xy من x نحو y تشكل عزم زاوي في جهة z)، ويعرف العزم الزاوي بالعلاقة الآتية:

$$\mathbf{L} = \mathbf{r} \times \mathbf{p}$$

إذ يمثل \mathbf{L} العزم الزاوي، و \mathbf{r} شعاع الموضع، و \mathbf{p} كمية الحركة. تعزى أهمية العزم الزاوي إلى الحالة التي تحدث فيها الحركة الدائرية بوجود حقل خارجي. يمثل الجيروسكوب (أداة تستخدم في السفن لضبط توازنها) مثلاً مألوفاً، الذي يحمل على محور ثابت، ليلاقي حقل الجاذبية [انظر الشكل (11-4)]. يكون دوّلاب الموازنة للجيروسكوب مثبتاً مع الجيروسكوب في الوضع العمودي تقريباً، وبعد تحرره، يبادر الجيروسكوب بالدوران حول محور جهة الحقل. مع مرور الزمن، يتزايد ميلان الجيروسكوب بالدوران حول محور جهة الحقل (الذي يأخذ جهة z)، وإذا لم يكن هناك أي احتكاك في الحامل، لا تتغير زاوية الميلان، ويرتد عن z ارتداداً ضئيلاً بحيث يحافظ على زاوية الميل مهماً كانت، ويجد نفسه عند البداية. لاحظ في هذه الحالة أن العزم الزاوي

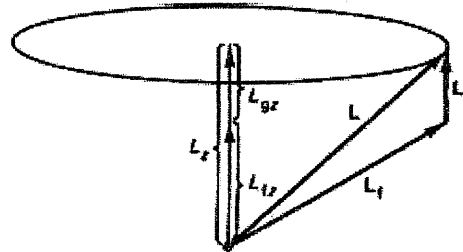


الشكل (4-10): متجه العزم الزاوي L من أجل جسم كتلته m متحرك بسرعة زاوية ω حول مدار دائري بنصف قطر r في الاتجاه المشار إليه.



الشكل (11-4): الجيروسکوب مع عزم زاوي لدوّلاب الموازنة، L_f ، مع مركباته z ، y ، و x عند قيمة محددة.

L_f الناشئ عن دوّلاب الموازنة يحافظ على قيمته فقط، ويتغير اتجاهه باستمرار. وهذا لا يمثل L_f ثابت الحركة بوجود حقل موجه على امتداد z ، ولا يعد أيضاً L_{fx} ، ولا L_{fy} كذلك؛ إذ تتغير قيمتهما عند مبادرة الجيروسکوب بالدوران. ولكن يمثل L_{fz} ثابت الحركة إذا لم تتغير زاوية الميلان. إذا أضفنا إلى L_f العزم الزاوي L_g الناشئ عن دوران الجيروسکوب بكماله (بضم مركز نقل دوّلاب التوازن، ولكن بإهمال دورانه)، نجد أن العزم الزاوي الكلي من أجل الجيروسکوب (بضم حركة دوّلاب الموازنة)، L ومكوناته L_x ، L_y ، و L_z ، يسلك سلوكاً مشابهاً للعزم الزاوي L_f ومركتاته [انظر الشكل (12-4)].



الشكل (12-4): العزم الزاوي الكلية للجیروскоп \mathbf{L} المبين بصفته مجموع عزمين: العزم الزاوي لدولاب الموازنة \mathbf{L}_f والعزم الزاوي للجیروскоп \mathbf{L}_g . يدور \mathbf{L} بحيث يمثل فقط ثابت الحركة \mathbf{L}_z .

يمكن تلخيص هذه الملاحظات من الفيزياء التقليدية على النحو الآتي: يحافظ الجسم الدوار الصلب على \mathbf{L} (هنا نعني \mathbf{L}_x ، و \mathbf{L}_y ، و \mathbf{L}_z) بغياب الحقل الخارجي. أما بوجود حقل خارجي باتجاه z مستقل عن الزمن، فتكون المتجهات \mathbf{L}_z ، و $|\mathbf{L}|$ ، وكذلك مقدار \mathbf{L} (وليس اتجاهه) مصانة. فضلاً عن ذلك، في الجمل التي تضم بعض الأجزاء المتحركة، يمثل العزم الزاوي مجموع العزوم الزاوية المستقلة (الفردية)، وتمثل المركبة \mathbf{L}_z مجموع مركبات \mathbf{L}_z المستقلة (الفردية):

$$\mathbf{L} = \sum_i \mathbf{L}_i \quad (52.4)$$

$$L_z = \sum_i L_{zi} \quad (53.4)$$

يبقى العديد من الخصائص للحالات التقليدية محفوظة في الميكانيك الكمومي، ويمكنها أن تبين عملياً أن التابع الخاص لشاردة شبيه بالهيدروجين يكون دائماً مرتبطاً بالقيم الحتمية \mathbf{L}_z ، وليس لكل من \mathbf{L}_x ، و \mathbf{L}_y ، و \mathbf{L} ، وتعد قيمة \mathbf{L} حتمية، ولكن ليس اتجاهها. سنستخدم مصطلح القيمة الحتمية (أي ثابت الحركة) عندما يمثل التابع الحالة تابعاً خاصاً لمؤثر مرتبط بخاصة فيزيائية محددة. فمثلاً إن التابع الموجية لشاردة شبيه بالهيدروجين تمثل جميعها توابع خاصة للمؤثر الهايدلروني، ولذلك فهو مرتبط بالطاقات الحتمية. لقد أدخلنا المؤثر من أجل المركبة \mathbf{L}_z للعزم الزاوي في الفقرة 6-2 بصفته $(h/2\pi i)d/d\phi$ ، ويطلب التعميم على الحالات التي لها بعض متحولات تغيير رمز المشتق الجزي. عندئذ، يصبح المؤثر السابق، الذي سرمز له بالرمز \hat{L}_z على النحو

أو $(1/i)\partial/\partial\phi$ ، أو $(\hbar i)\partial/\partial\phi$ في الوحدات الذرية، ولقد رمزنَا إلى هذا المؤثر في الفقرة 6-2 بالرمز p_ϕ (ستتم المناقشة العامة للمؤثرات في الفصل السادس). يعني التعبير "إن التوابع الخاصة لشاردة شبيهة بالهيدروجين متمتعة بمركبة حتمية للعزم الزاوي L_z " أن $\hat{L}_z\psi_{n,l,m}(r,\theta,\phi) = \text{constant} \psi_{n,l,m}(r,\theta,\phi)$ ؛ لأن هذه التوابع الخاصة جميعها تضم $\exp(im\phi)$ بصفتها حداً تابعاً للمتحول ϕ ، وينتج من ذلك مباشرة أن:

$$\hat{L}_z\psi_{n,l,m}(r,\theta,\phi) = m\hbar\psi_{n,l,m}(r,\theta,\phi) \quad (54.4)$$

أو بصورة مكافئة:

$$\hat{L}_z Y_{l,m}(\theta,\phi) = m\hbar Y_{l,m}(\theta,\phi) \quad (55.4)$$

وينتج عن ذلك أن العدد الكومي m يساوي المركبة z للعزم الزاوي بوحدة \hbar . هذا يعني أن العزم الزاوي المرتبط بالحالة s ($l=0$ ، وكذلك $m=0$) يتمتع بمركبة z مساوية الصفر ، في حين تتمتع الحالة p ($l=1$ ، وكذلك $m=-1, 0, +1$) بمركبة z مساوية $-h$ أو 0 أو $+h$.

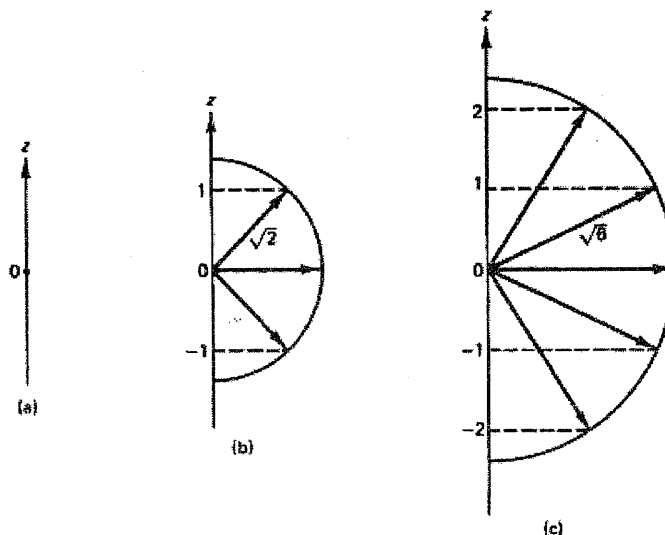
إن المقدار الآخر المصنان في هذه الجملة هو قيمة L ، ويفضل في الميكانيك الكومي التعامل مع مربع هذه القيمة L^2 ، ويكتب المؤثر الهايلتوني المرتبط بهذه القيمة على النحو الآتي:

$$\begin{aligned} \hat{L}^2 &= -\hbar^2[(\partial^2/\partial^2\theta) + \cot\theta(\partial/\partial\theta) + (1/\sin^2\theta)(\partial^2/\partial^2\phi)] \\ &= -\hbar^2[(1/\sin\theta)(\partial/\partial\theta)\sin\theta(\partial/\partial\theta) + (1/\sin^2\theta)(\partial^2/\partial^2\phi)] \end{aligned} \quad (56.4)$$

إذ إن $\cot\theta = \cos\theta/\sin\theta$ ، ويعطى ناتج التأثير في (ϕ, θ, r) بهذا المؤثر النتيجة:

$$\hat{L}^2 Y_{l,m}(\theta,\phi) = l(l+1)\hbar^2 Y_{l,m}(\theta,\phi) \quad (57.4)$$

هذا يعني أن مربع قيمة العزم الزاوي يساوي $l(l+1)\hbar^2$. وبناءً على ذلك ، فهو يساوي الصفر من أجل الحالة s ، في حين يساوي $2\hbar^2$ من أجل الحالة p ، و $6\hbar^2$ من أجل الحالة d ، إلخ. ، ويمكن إنشاء مخططات الأشعة تبعاً لهذه العلاقات ، ويوضح الشكل (13-4) البعض منها.



الشكل (4-13): علاقات الأشعة التي تحقق القواعد: $\hat{L}_z = m$ ، $L^2 = l(l+1)$. إن القواعد الكمية تتوافق مماثلاتها التقليدية عندما يتمتع الجيروسكوب فقط بزوايا محددة منقطعة لميلان: (a) الحالة s ($m=0$ ، $l(l+1)=0$) و (b) الحالة p ($m=1, 0, -1$ ، $l(l+1)=1$) و (c) الحالة d ($m=-2, -1, 0, +1, +2$ ، $l(l+1)=2$) (جميعها في الوحدات الذرية).

يمكن استنتاج المؤثرات من أجل \hat{L}_x و \hat{L}_y أيضاً، التي تكتب على النحو الآتي:

$$\hat{L}_x = i\hbar[\sin\phi(\partial/\partial\theta) + \cot\theta\cos\phi(\partial/\partial\phi)] \quad (58.4)$$

$$\hat{L}_y = -i\hbar[\cos\phi(\partial/\partial\theta) - \cot\theta\sin\phi(\partial/\partial\phi)] \quad (59.4)$$

ليس بالضرورة أن تمثل التوابع الخاصة لشاردة شبيهة بالهيدروجين التوابع الخاصة لأي مؤثر من هذين المؤثرتين، ومن المهم دراسة المعنى الفيزيائي لهذه النتائج. إذا كان مقدار ما قيمة حتمية (قاطعة)، فهذا يعني أنه دائماً سنصل إلى هذه القيمة عند تحديد خاصة ما للجملة في حالتها المدروسة. وبناءً على ذلك، يجب أن تكون القيمة المقاسة للمركبة z للعزم الزاوي لذرات الهيدروجين في الحالة $2p_{+1}$ مساوية $+1\hbar$ ، أو الواحد في الوحدات الذرية، ولكن من أجل المركبة x أو y ، تؤدي القياسات المتكررة (المجموعة من الذرات $2p_{+1}$) إلى قيم منفصلة، ويمكن قياس (أو حساب) القيمة المتوسطة L_x أو L_y ، وليس القيمة الحتمية، ويمكن في حدود النموذج الواقعي

(الجبروسكوب) إدراك هذا إدراكاً كافياً باستثناء أمر واحد، هو أن التابع الخاص لذرات شبيهة بالهيدروجين تمثل حلوأً من أجل حقل كموني مركزي من دون حقل خارجي. عند هذه الشروط تمثل \hat{L}_z ، \hat{L}_x ، \hat{L}_y ، L_z ، L_x ، L_y تقليداً ثوابت الحركة. لماذا عندئذ لا تمثل جميعها كمومياً فيما حتمية؟ إن الجواب هو أن توابع الحالة الكمومية لا تتضم على الإطلاق معلومات إضافية إلا المستنيرة بالقياس مبدئياً، وهذا يعني مبدئياً أنه لقياس مركبة العزم الزاوي في جملة، يجب أن تخضع الجملة إلى قوة خارجية. فضلاً عن ذلك يجب أن تكون هذه الجملة خاضعة لتقيدات مبدأ الارتباط. إذاً لا يمكن أن تمثل التوابع الموجية لشاردة شبيهة بالهيدروجين في الوقت نفسه توابعاً خاصة للمقادير \hat{L}_z ، \hat{L}_x ، \hat{L}_y ؛ وإلا لأعطت فيما حتمية في الوقت نفسه (أي بدون ارتباط) من أجل متحولات مراقبة لطول متجهة العزم الزاوي، وزاوية توجهه. وهذا ينتهك مبدأ الارتباط، الذي يعكس في حد ذاته حدود قدرتنا على قياس أحد المتحولات من دون تأثير الآخر (انظر الفقرة 1-8).

يمكن العمل فقط مع المؤثرات الكمومية لاستنتاج القيم الخاصة لكل من \hat{L}_x و \hat{L}_y .

ولكن بسبب الإجراءات الرياضية الطويلة، سنذكر فقط النتائج:

$$\hat{L}_z f_{l,m} = m\hbar f_{l,m}, \quad m = -l, -l+1, \dots, l-1, l \quad (60.4)$$

$$\hat{L}^2 f_{l,m} = l(l+1)\hbar^2 f_{l,m} \quad (61.4)$$

ويلاحظ أن هاتين النتيجتين تمثلان النتيجتين السابقتين [العلاقةان (55.4) و (57.4)]، ولكن يوجد اختلاف؛ إذ لم ينوه إلى أن m يمثل أي عدد صحيح، في حين يجب أن يمثل m عدداً صحيحاً في العلاقة (55.4). توجد وسائلتان يمكن من خلالها الحصول على التعاقب من الشكل $l, l-1, \dots, l-1+1, \dots, l, -l, -l+1, \dots, -l$. تتضمن إحدى الوسائل سلسلة صحيحة، مثل $+2, +1, 0, +1, -2, -1$ ، التي يجب أن تضم الصفر، في حين تضم الوسيلة الأخرى سلسلة أنصاف الأعداد الصحيحة، مثل $-\frac{3}{2}, -\frac{1}{2}, +\frac{1}{2}, +\frac{3}{2}$ ، التي لا تضم الصفر، وإذا تعاملنا فقط مع خصائص المؤثرات، سنجد أن أي احتمال يكون مسموح به. ولكن إذا افترضنا أنه يمكن فصل التوابع الخاصة $f_{l,m}$ (غير المخصصة) إلى جزأين مستقلين لكل من θ و ϕ ، سنجد أنفسنا مقيدين بالسلسل الصحيحة. فمن أجل

العزم الزاوي المداري (الناشئ عن حركة الإلكترون في المدار الذري)، يجب أن تتمثل المركبة z عدداً صحيحاً، كما لاحظنا ذلك من أجل توابع الحالات ψ التي تضم التواوفقات الكروية $Y_{l,m}$ المجزئة، في حين يتمتع العزم الزاوي السبياني للإلكترون (الذي سيناقش في الفصل الخامس)، بمركبات z نصف صحيحة للعزم الزاوي، ولا يمكن التعبير عن التوابع الخاصة الموافقة للسبين بصفتها تواوفقات كروية.

6- العزم الزاوي والعزم المغناطيسي

Angular Momentum and Magnetic Moment

إذا سار جسيم مشحون بسرعة محددة، فينفتح عن ذلك حقل مغناطيسي. لما كانت الحركة الدائرية ذات سرعة ثابتة متسارعة (تقليدياً)، ينبع من ذلك أن الجسيم المشحون سيتمتع بعزم زاوي وعزم مغناطيسي أيضاً. يتناسب العزم المغناطيسي خطياً مع العزم الزاوي، ويتجه في الاتجاه نفسه إذا كانت الشحنة موجبة. فمن أجل الإلكترون يعطى العزم المغناطيسي بالعلاقة الآتية:

$$\mu = -\beta_e L \quad (62.4)$$

إذ يدعى β_e مغناطيس بور، ويأخذ القيمة $9.274078 \times 10^{-24} \text{ J T}^{-1}$ (ويساوي $\frac{1}{2} \text{ a.u.}$)؛ إذ يمثل T شدة الحقل المغناطيسي، ويعبر عنه بوحدة التسلا (يحدد β_e بضم \hbar العائد إلى L ، بحيث يمثل فقط الجزء $l(l+1) L$ المستخدم في الحساب).

مثال 4-6: ما قيمة مركبة العزم المغناطيسي من أجل الإلكترون في الحالة $3d$ لذرة الهيدروجين؟ وفي الحالة $4d$ من أجل ${}^4\text{He}^+$ ؟

الحل: من أجل أية حالة d ، يكون $l = 2$ ، ولذلك فإن:

$$|\mu| = \beta_e |L| = \beta_e \sqrt{l(l+1)} = \sqrt{6} \beta_e = 2.27 \times 10^{-23} \text{ J T}^{-1}$$

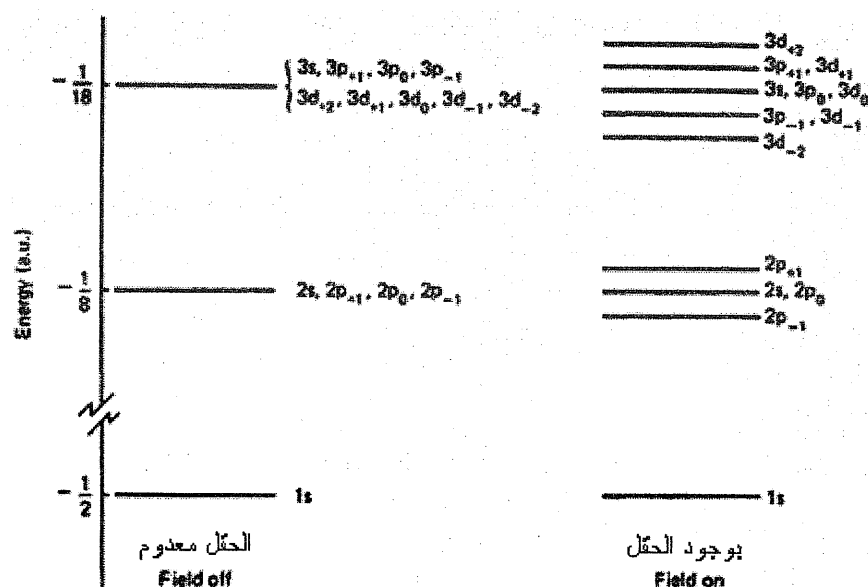
(في الوحدة الذرية). تهمل إشارة السالب في حالة تحديد القيمة. لا تتعلق القيمة بالعدد الكومي n ، ولا بالعدد الذري Z ، ولذلك فهي تمثل نفسها من أجل ${}^4\text{He}^+$.

عند تطبيق حقل مغناطيسي بشدة B على المحور z ، تبادر متوجهة العزم المغناطيسي بالدوران حول هذا المحور، وتتأثر المركبة μ لهذه المتوجهة بالحقل

المطبق B ، وتعطى طاقة التأثير المتبادل بالعلاقة الآتية:

$$E = -\mu_z B = \beta_e L_z B = \beta_e m B \quad (63.4)$$

هذا يعني أن درجة توالد بعض السويات ضمن سويات الشاردة الشبيهة بالهيدروجين تزال نتيجة تطبيق حقل مغناطيسي خارجي. فمثلاً ترتفع السوية $2p_{-1}$ وتختفي في الطاقة، في حين تبقى السويتان $2s$ و $2p_0$ غير متأثرتين [انظر الشكل (14-4)]. وهذا بدوره يؤثر في الطيف الذري للامتصاص والإصدار. إن انقسام (أو انشطار) الخطوط الطيفية ناشئ عن تطبيق حقل مغناطيسي خارجي، وتعرف هذه الظاهرة باسم انقسام زيمان. لما كان انقسام السويات المبينة في الشكل (14-4) متناسبة مع المركبة z للعزم الزاوي المداري، الذي يساوي $m\hbar$ ، لذلك يسمى m العدد الكمومي المغناطيسي، وبغياب الحقل الخارجي، تكون التوابع الخاصة المتمتعة بالعدد n نفسه، ولكنها مختلفة بالعددين l و m ، متوازدة. ولقد وجدنا أن هذا يسمح لنا بأخذ التراكيب الخطية للتوابع الخاصة، وتوصلنا إلى التوابع الخاصة الحقيقة l_x^2 و l_y^2 بدلاً



الشكل (14-4): سويات الطاقة لشاردة شبيهة بالهيدروجين بغياب حقل مغناطيسي موجه على المحور Z ، ووجوده.

من $2p_{+1}$ ، و $2p_{-1}$ ، و عند تطبيق حقل مغناطيسي، يبقى التوالي، ولكن ليس لفترة غير طويلة، ونكون غير قادرين على القيام بأخذ هذا التركيب. عند هذه الشروط، لا تعد $2p_x$ ، و $2p_y$ ، و $3d_z$ ، إلخ، توابعاً خاصة، ويجب أن تنتهي بالحلول الصافية لأنماط $m = 0, \pm 1, \pm 2, \dots$

لقد بينا إلى حد كبير أن توابع الحالة المستقرة من أجل شوارد شبيهة بالهيدروجين تمثل توابع خاصة للمؤثرين \hat{L}_z و \hat{L}^2 ، وقارناه مع حقيقة أن \hat{L}_z و \hat{L}^2 يمثلان ثابتى الحركة من أجل الجيروسکوب بفرص دوار يتربّن حول محور الحقل الخارجي. ولكن كيف يصبح الأمر بالنسبة إلى الذرات متعددة الإلكترونات؟ وكذلك بالنسبة إلى الجزيئات؟ هل تمثل توابع حالاتها المستقرة أيضاً توابعاً خاصة للمؤثرين \hat{L}_z و \hat{L}^2 ؟ سيناقش مثل هذه الأنماط من الأسئلة في الفصل السادس، وسنلاحظ أن التوافقات الكروية تمثل توابعاً خاصة للمؤثرين \hat{L}_z و \hat{L}^2 [العلاقان (55.4) و (57.4)], وأن تابع الحالة من الشكل $\psi = R(r)Y_{l,m}(\theta, \phi)$ من الضروري أن يمثل تابعاً خاصاً لهذين المؤثرين. ولكن تمثل التوافقات الكروية حلواناً مرتبطة بالكمونات المتاظرة كروياً، وبناءً على ذلك، يلاحظ أن التوابع الخاصة لمؤثر هاملتوني مستقل عن الزمن تمثل أيضاً توابعاً خاصة من أجل \hat{L}_z و \hat{L}^2 فقط إذا كان الكمون متاظراً كروياً. وفي معظم الحالات المقيدة التي يكون فيها ψ متنبعة بالصيغة $\psi = f(r, \theta, \phi) = f(r, \theta) \exp(im\phi)$ ، يمثل ψ تماماً تابعاً خاصاً للمؤثر \hat{L}_z ، وليس للمؤثر \hat{L}^2 ، وتطبق هذه الحالة على الجمل المتممّة بكمونات متاظرة أسطوانياً المتعلقة بالمحولين r و θ ، وليس بالمحول ϕ (مثل H_2^+ و N_2).

7-4 العزم الزاوي في الدوران الجزيئي: الدوار الصلب Angular Momentum in Molecular Rotation-The Rigid Rotor

وجدنا أن جملة مولفة من جسيمين (إلكترون ونواة)، تدور حول مركز القل، يمكن تحويلها إلى جملة بجسيم واحد بكتلة مختزلة تدور حول نقطة مثبتة. ولكن يمكن تحقيق هذا التحويل من أجل أية جملة بجسيمين، ولذلك تطبق على حالة النوى لدوران

جزيء ثانٍ للذرة أيضاً، كما سنجد الآن أن النتيجة الرياضية من أجل درون جزيء ثانٍ للذرة شبيهة للنتيجة الرياضية من أجل شاردة شبيهة بالهيدروجين. تهمل المعالجة المبسطة للدوران الجزيئي الحركة الاهتزازية بافتراض أن المسافة بين الذوي مثبتة، ويدعى هذا التقرير نموذج الدوار الصلب. فإذا رمنا إلى كثافة كل نواة في جزيء ثانٍ للذرة بالرمز m_1 و m_2 ، وإذا رمنا إلى بعد كل منها عن مركز التقل بالرمز r_1 و r_2 على الترتيب، وحسب تعريف مركز التقل، نجد أن:

$$m_1 r_1 = m_2 r_2 \quad (64.4)$$

ويعبر عن عزم العطالة بالعلاقة الآتية:

$$I = m_1 r_1^2 + m_2 r_2^2 \quad (65.4)$$

لا يوجد أية صعوبة لإظهار أن عزم العطالة ناتج عن الكثافة المختزلة μ التي تدور حول النقطة المثبتة عند مسافة $r = r_1 + r_2$. بمعنى آخر، إذا كان:

$$\mu = \frac{m_1 m_2}{m_1 + m_2} \quad (66.4)$$

فإن:

$$I = \mu r^2 \quad (67.4)$$

وبناءً على ذلك فإن حل مسألة دوران الكثافة المختزلة حول نقطة مثبتة عند مسافة مثبتة $r = r_1 + r_2$ مكافئاً لحل مسألة دوار صلب بكتلتين. وفي الحقيقة، تحول مسألة دوران جزيء ثانٍ للذرة إلى مسألة جسيم في سطح غير كروي.

كالعادة، تكتب معادلة شرودينغر بالعبارة العامة $[-\hbar^2/2\mu(\nabla^2 + V)]\psi = E\psi$ ، ثم يتم جعل V ثابتاً على السطح الكروي (تبعاً لجزيء ثانٍ للذرة الذي لا يتمتع بأي توجّه مفضل)، لذلك يمكن جعل $V = 0$. ولما كان r ثابتاً، فإن الحد الأول في ∇^2 [العلاقة (4.7)] ينعدم بسبب المؤثر $\partial/\partial r$ ، وتصبح معادلة شرودينغر الناتجة [باستخدام العلاقة (67.4)] على النحو الآتي:

$$\begin{aligned} [(1/\sin\theta)(\partial/\partial\theta)\sin\theta(\partial/\partial\theta) + (1/\sin^2\theta)(\partial^2/\partial^2\phi)]\psi(\theta, \phi) \\ = (-2IE/\hbar^2)\psi(\theta, \phi) \end{aligned} \quad (68.4)$$

تمثل العلاقة (68.4) العلاقات من أجل Θ و Φ نفسها [36.4) و (39.4)] مع $\beta = 2IE/\hbar^2$ ، ولقد بينا سابقاً أن $l(l+1) = \beta$. فمن أجل الدوران الجزيئي يفضل استبدال رمز العدد الكومومي ، ليأخذ الرمز J بدلاً من l ، وهذا يؤدي إلى النتيجة الآتية:

$$J(J+1) = 2IE/\hbar^2 \quad (69.4)$$

أو

$$E = J(J+1)\hbar^2/2I, \quad J = 0, 1, 2, \dots \quad (70.4)$$

لما كان $V = 0$ ، فإن E تمثل الطاقة الحركية ، ولما كان r ثابتًا (غير متحول) ، لا يوجد أي تشابه بالعدد الكومومي الرئيس n ، ولا يكون J مقيداً بقيمه الكبيرة.

تمثل التوابع الخاصة ، كما في الحالة السابقة ، توافقات كروية Y_{J,m_J} مع $m_J = 0, \pm 1, \pm 2, \dots, \pm J$. وهكذا نحصل على حل من النمط s ($J = 0$ و $0 = m_J$) متمتع بقيمة ثابتة لسطح كروي ، وثلاثة حلول من النمط p ($J = 1$) و $m_J = +1, 0, -1$ ، وخمسة حلول من النمط d ، إلخ. من أجل كل قيمة للعدد J يوجد $(2J+1)$ تابع خاص ، ويتمتع الحل من النمط s بطاقة صفرية ، ويمكن تصور أن الكثلة المختزلة ساكنة على سطح كرة ، وتتمتع باحتمال متسلو لوجودها في كل مكان. إن هذا التصور يبين الحالة التي لا يدور عندها الجزيء ثانية الذرة ، وعندما لا يوجد أي توجه مفضل. ولما كان $E = 0$ عندما $J = 0$ ، نستنتج أنه لا توجد طاقة وضع صفرية من أجل الدوران الحر (ولكن إذا كان الدوران مقيداً بتلك الصورة التي تصبح بعض التوجهات مفضلة ، تصبح طاقة الوضع الصفرى محدودة). يتبع أيضاً العزم الزاوي للدوران الصلب قاعدة الجملة لشاردة شبيهة بالهيدورجين؛ إذ يساوي مربع العزم الزاوي الكلى المقدار $J(J+1)\hbar^2$ ، وتساوي المركبة z المقدار $m_J\hbar$.

يمكن الكشف عن الانتقادات بين سويات الطاقة الدروانية طيفياً. تعين هذه الفروقات للطاقة بوساطة تغيرات خاصة للعدد J ، وهذا يمثل موضوعاً مهماً لتحديد المسافة الفاصلة r بين النوى في الدوار الصلب. فمثلاً ، لنفترض أن إشارة الامتصاص من أجل $H^{81}Br$ ظهرت عند 101.58 cm^{-1} ، وتعود إلى الانتقال $5 \leftarrow 6 = J$. ولما كانت الطاقتان لهاتين السويتين هما $2I/2I = 30\hbar^2$ و $2I/2I = 42\hbar^2$ على الترتيب ، فإن الفرق

يساوي $I = 12\hbar^2 / 2I$. يمثل هذا الفرق طاقة فوتونات الضوء عند 101.58 cm^{-1} ، وبحل هذه العلاقة نحصل على $I = 3.3069 \times 10^{-47} \text{ kg m}^2$. نعلم أن هذا المقدار يساوي μr^2 ، ونعلم أيضاً كيف يمكن الحصول على μ من m_{H} و m_{Br} [العلاقة (46.4)], يمكننا في النهاية التوصل إلى $r = 141.44 \text{ pm}$.

Summary

7-4 ملخص

- يمكن تحويل حركة كتلتين متحركتين حول مركز النقل إلى حركة كتلة مختزلة متحركة حول نقطة مثبتة. يشير نصف قطر دوارن الكتلة المختزلة إلى المسافة الفاصلة بين الكتلتين الأصليتين. من أجل الشوارد الشبيهة بالهيدروجين، تكون كتلة النوى أكبر بكثير من كتلة الإلكترون، ولذلك تشير الكتلة المختزلة غالباً إلى كتلة الإلكترون.
- تتعلق فقط طاقات الحالة الرابطة من أجل الحالات المستقلة عن الزمن لأيون شبيه بالهيدروجين بالعدد الذري Z ، والعدد الكومي n (أي عدد صحيح)، وتعطى بالعلاقة $E = -Z^2 / 2n^2$. هذا يعني أن سويات الطاقة تقترب من بعضها بزيادة n ، ويوجد عدد غير محدود من هذه السويات الطاقية السالبة. إن لكل سوية طاقة درجة توالي متساوية n^2 ، ويظهر استمرار الطاقات من أجل الحالات غير الرابطة $(E > 0)$.
- يتميز كل تابع موجي لحالة مستقرة بثلاثة أعداد كمومية: n ، و l ، و m ، وتعد جميعها صحيحة؛ إذ تتغير l من 0 حتى $n-1$ ، وتتغير m من $-l$ حتى $+l$. إذا كان $l=0$ ، نحصل على الحالة s ، ويكون ψ متناهراً كروياً مع نتوء عند النواة. وإذا كان $l=1, 2, \dots$ ، نحصل على الحالات p, d, \dots ، وينعد ψ عند النواة، ولا يعد متناهراً كروياً. في الحالات جميعها يكون احتمال وجود الإلكترون بعيداً عن وضع الانعطاف التقليدي.
- تعد التوابع الخاصة $R_{n,l}(r)\Theta_{l,m}(\theta)\Phi_m(\phi)$ عقدية، ولكن يمكن أخذ التركيب الخطية لتشكيل توابع خاصة حقيقة. ولكن إذا سبب الحقل الخارجي لحالات مختلفة بقيمة m ، لجعلها غير متوازنة، فإن هذا التركيب لا يشكل توابعاً خاصة.

5. إن التوابع الخاصة للحالة المستقرة جميعها متعددة على بعضها، وتتشكل العقد القطرية و (أو) الزاوية (تكون عادة قطبية) في هذه الحالة، ويمثل تأثير العقدة القطرية في الطاقة نفسها كما للعقدة الزاوية، ولذلك تكون التوابع الخاصة جميعها ذات ثلاث عقد (جميعها قطرية، أو زاوية، أو تركيبية) متولدة، وهذا مميز للكون r^{-1} .
6. لم يتم توضيح فصل المتحولات على نحو تام، ونظرًا لذلك رُبطت المعادلات التفاضلية من أجل R و Θ [العلاقتين (38.4) و (39.4)], عبر β ، وربطت المعادلة من أجل Φ [المعادلة (40.4)] عبر m . ويعزى هذا إلى العلاقة المتباينة لقيم n ، و l ، و m .
7. تمثل التوافقيات الكروية الأجزاء الزاوية لحلول معادلة شرودينغر من أجل جملة ممتعة بكمونات متاظرة كرويًّا. تعد هذه التوابع توابع خاصة لـ \hat{L}_z و \hat{L}^2 ، وكذلك للمؤثر \hat{H} ، ولذلك تتمتع هذه الحالات بقيمة حتمية لكل من \hat{L}_z ، و \hat{L}^2 ، و \hat{H} . إن القيمة من أجل \hat{L}_z هي $m\hbar$ ، أما قيمة \hat{L}^2 فهي $\hbar^2(l+1)l$ ؛ إذ يمثل كل من l و m عدًّا صحيحةً. في الوحدات الذرية لا يظهر \hbar في هذه الصيغ.
8. تتناسب المركبة z للعزم المغناطيسي المؤدية إلى الحركة المدارية لجسيم مشحون مع $m\hbar$ ، ولذلك يدعى m العدد الكومي المغناطيسي. يسمح هذا العزم في اقسام زيمان الملاحظ في أطيف الشوارد الشبيهة بالهيدروجين في حقول مغناطيسية.
9. توجد توابع خاصة مختلفة عن التوافقيات الكروية من أجل \hat{L}_z و \hat{L}^2 ، ولكنها تمثل توابع متعلقة بكل من θ و ϕ غير منفصلة. وبممكن، في هذه الحالات، أن يأخذ كل من l و m نصف أعداد صحيحة، ولا تظهر هذه الحالات في الحركة المدارية، ولكنها تظهر في مسائل السبيبن.
10. إذا كان V متاظرًا اسطوانيًّا [أي أن $(r, \theta, V) = V(r, \theta)$]، فإن التوابع الخاصة للهاملتون تمثل توابعًا خاصة تماماً من أجل \hat{L}_z ، وليس من أجل \hat{L}^2 . عندئذ يمثل قيمة المركبة z تماماً للعزم الزاوي لهذا الجملة، وهنا تكون z بجهة محور التاظر الدوراني؛ أي موجهة على محور المسافة بين النوى للجزيء.
11. تمثل قواعد المقادير المسموح بها للعزم الزاوي وتوجهاتها نفسها من أجل الدوار الصلب كما من أجل الشاردة الشبيهة بالهيدروجين، وينتج عن ذلك العلاقات الآتية

بدالة الأعداد الكمومية الدورانية $m_J = 0, \pm 1, \dots, \pm J$ ، و $J = 0, 1, 2, \dots$

$$\text{طول متجهة العزم الزاوي} = \sqrt{J(J+1)}\hbar$$

مركبة العزم الزاوي العمودية على محور النوى $= m_J \hbar$

الطاقة الحركية للدوران: $T_J = J(J+1)\hbar^2/2I$ ؛ التوالي: $g_J = 2J+1$

أسئلة وتمارين

1-4 إن أي انتقال طيفي مكتشف في ذرة الهيدروجين مرتبط بالانتقال $1s \leftarrow 2p$. استخدم العلاقة (8.4) لتقدير هذا الفرق في الطاقة بواحدة (Hz)؛ إذ إن $1 \text{ Hz} = 1 \text{ s}^{-1}$. قم بالحساب باستخدام كل من m_e و μ (راجع الملحق 3 من أجل الثوابت وعوامل التحويل). ما الخطأ في هذا الحساب بجزء من المليون، والذي يمكن ارتكابه عند إهمال الكتلة المحدودة للنواة (أي عند استخدام m_e بدلاً من μ) .

2-4 إن $(-r) = \psi/(\sqrt{\pi}) \exp(-r/\sqrt{\pi})$ من أجل ذرة الهيدروجين في الحالة $1s$ في الوحدة الذرية:

(a) احسب قيمة r (في الواحدة a.u.) عند نقطة الانعطاف التقليدي.

(b) احسب النسبة المئوية للشحنة الكهربائية المتوقعة وراء نقطة الانعطاف التقليدي (راجع الملحق 1 من أجل التكاملات الضرورية).

3-4 استخدم الوحدات الذرية لحساب ما يأتي من أجل الإلكترون $1s$ لأيون شبيه

بالهيدروجين $[\psi = (\sqrt{Z^3/\pi}) \exp(-Zr)]$ (راجع الملحق 1):

(a) بعد الإلكترون الأكثر احتمالاً عن النواة.

(b) بعد المتوسط للإلكترون عن النواة.

(c) بعد عن النواة عند الكثافة الاحتمالية الأعظمية.

(d) القيمة المتوسطة للطاقة الكامنة $(V = -Z/r)$. لماذا تكون سالبة

عكس ما هو متوقع في (b)؟ ولماذا (d) أخفض من القيمة السالبة عكس

ما هو متوقع في (b) عندما $Z = 1$ ؟

4-4 وضح بالتكامل أن المدارين $1s$ و $2s$ لذرة الهيدروجين متعامدان.

5-4 قم بتنظيم التابع $r \exp(-r) \cos \theta$

6-4 استنتج القيمة المتوسطة للموضع \bar{x} من أجل جسيم متحرك في كمون أحادي

البعد لهزاز توافق في الحالة ذات التابع الموجي المنظم الآتي:

$$\psi = (\beta/48^2 \pi)^{1/4} \left[(2\sqrt{\beta}x)^3 - 12\sqrt{\beta}x \right] \exp(-\beta x^2/2)$$

(يوجد وسيلة سهلة للقيام بذلك).

7-4 من أجل جسيم في صندوق وحيد البعد ذات الحدود عند $x = 0$ و $x = L$ ، ومن

أجل العدد الكومي n :

(a) بين كيف يمكن حساب الانحراف الوسطي للجسيم عن موضعه المتوسط.

(b) اشرح نوعياً كيف يمكن توقع قيمة (a) بتغيير العدد الكومي n .

(c) استنتاج العبارة من أجل الجزء (a) بدلالة n و L . احسب القيمة من أجل

$n = 1, 2$. نقش القيم المستنيرة لهذين العددين بصورة معقولة.

8-4 أجب عن الأسئلة الآتية (استخدم الوحدات الذرية):

(a) ما طاقة ذرة الهيدروجين في الوضع $1s$ ؟

(b) ما طاقة He^+ عندما $n = 1$ ؟ $n = 2$ ؟

(c) ما درجة تعدد سوية الطاقة $n = 5$ للهيدروجين؟

(d) ما عدد العقد السطحية الذي يمتلكه المدار $4d$ ؟ وما عدد العقد القطرية؟

(e) ما الطاقة الكامنة في ذرة الهيدروجين عندما يبتعد عن النواة بمقدار

0.5 a.u.

9-4 يمثل $\psi = (27 - 18r + 2r^2) \exp(-r/3)$ التابع خاصاً غير منظم لذرة

الهيدروجين:

(a) ما قيم العددين الكوميين l و m من أجل هذه الحالة؟

(b) ما عدد العقد القطرية التي يتمتع بها هذا التابع؟

(c) ما طاقة هذه الحالة؟

(d) ما نصف قطر الانعطاف التقليدي من أجل هذه الحالة؟

10-4 تتمتع شاردة شبيهة بالهيدروجين بمركبة z للعزم زاوي مساوية -2 a.u. :

(a) ما القيمة الممكنة لطول متجهة العزم الزاوي لهذه الحالة؟

(b) ما الرمز الذي يصف الحالة الموافقة لجواب الجزء (a).
 11-4 قدر كل مما يأتي في الوحدات الذرية (إذ يمثل $\psi_{n,l,m}$ تابعاً خاصاً للمؤثر \hat{H} من أجل ذرة الهيدروجين):

$$\cdot (1/i)(\partial/\partial\phi)\psi_{2p_1} \quad (d), \quad \hat{H}\psi_{3p_x} \quad (c), \quad \hat{L}^2\psi_{2p_x} \quad (b), \quad \hat{L}^2\psi_{3,2,1} \quad (a)$$

12-4 أشر من أجل كل من المؤثرات الآتية "نعم" أو "كلا" للحالة التي يمثل فيها ψ_{3p_x} (مع $Z=1$) تابعاً خاصاً. في حالة "نعم" حدد القيمة الخاصة أيضاً في الوحدات الذرية:

$$(f), \quad \hat{L}_x \quad (e), \quad -\frac{1}{2}\nabla^2 \quad (d), \quad \hat{L}_z \quad (c), \quad -\frac{1}{2}\nabla^2 - 3/r \quad (b), \quad -\frac{1}{2}\nabla^2 - 1/r \quad (a)$$

$$\cdot 1/r \quad (h), \quad r \quad (g), \quad \hat{L}_2$$

13-4 أجب عن الأسئلة الآتية بالنسبة إلى الحالة $n=4$ لذرة الهيدروجين:
 (a) ما طاقة الحالة في الوحدات الذرية؟

(b) ما تعدد الحالة؟

(c) ما قيمة طولية متوجه العزم الزاوي (في a.u.) الممكنة؟

(d) ما عدد الأوضاع الثانوية (الطاقة) للحالة $n=4$ التي تتشطر عند تطبيق حقل مغناطيسي؟

14-4 احسب μ باستخدام $m_{Br} = 80.9163$ a.m.u، ثم تحقق من قيمة r المعطاة في نهاية الفقرة 7-4.

15-4 افترض أن المسافة الفاصلية بين النواة تساوي pm 127.5 في $D^{35}Cl$ ، ثم احسب الأوضاع المتوقعة في الواحدة cm^{-1} لقلم الامتصاص الموافقة من أجل $D = 2.0141$ a.m.u. مع العلم أن $J = 0 \leftarrow 1, 1 \leftarrow 2, 2 \leftarrow 3, 3 \leftarrow 2$ ، و $.^{35}Cl = 2.0141$ a.m.u.

اختار الجواب الصحيح:

16-4 إن توالد سوية الطاقة ذات عدد كمومي $J=7$ لجسيم متحرك على سطح كروي يساوي: (a) 56، (b) 42، (c) 49، (d) 14، (e) ولا جواب صحيح.

17-4 إن الطاقة الإلكترونية للشاردة Li^{2+} في الحالة $2s$ تمثل:

(a) الطاقة نفسها للهيدروجين H في الحالة $1s$ ؟

(b) ثمانية أضعاف طاقة H في الحالة $1s$ ؟

(c) ربع طاقة H في الحالة $1s$ ؟

(d) $4/9$ من طاقة H في الحالة $1s$ ؟

(e) $10/4$ من طاقة H في الحالة $1s$ ؟

18-4 إن القيمة العظمى للمركبة z للعزم المداري الزاوي من أجل ذرة الهيدروجين

في الحالة $n = 4$ تساوي:

(a) $2\hbar$ (b) $3\hbar$ (c) $\sqrt{12}\hbar$ (d) $\sqrt{6}\hbar$ (e) $\sqrt{12}\hbar$ ولا جواب صحيح.

19-4 يشير تابع التوزع القطري $4\pi r^2 \psi_{1s}^2$ من أجل الحالة $1s$ إلى:

(a) أن القيمة الأكثـر احتمـالـاً بعد الإلـكتـرون عن النـواـة تـساـوي الصـفـر.

(b) أن القيمة الوسطـية لـالمـقـدار r تـساـوي الصـفـر.

(c) أن القيمة الوسطـية لـالمـقـدار r أـكـبـرـاً مـنـ الـقـيـمـةـ الـأـكـثـرـ اـحـتـمـالـاً.

(d) أن القيمة الوسطـية لـالمـقـدار r تـساـوي الـقـيـمـةـ الـأـكـثـرـ اـحـتـمـالـاً.



مكتبة
A to Z